UNIVERSITÀ DEGLI STUDI DI NAPOLI *FEDERICO II*
DIPARTIMENTO DI CHIMICA "PAOLO CORRADINI"
Complesso Universitario di Monte Sant'Angelo Via Cinthia - 80126 Napoli

Appendice I

(Figure f.t. e foto)

UNIVERSITÀ DEGLI STUDI DI NAPOLI *FEDERICO II*
DIPARTIMENTO DI CHIMICA "PAOLO CORRADINI"
Complesso Universitario di Monte Sant'Angelo Via Cinthia - 80126 Napoli

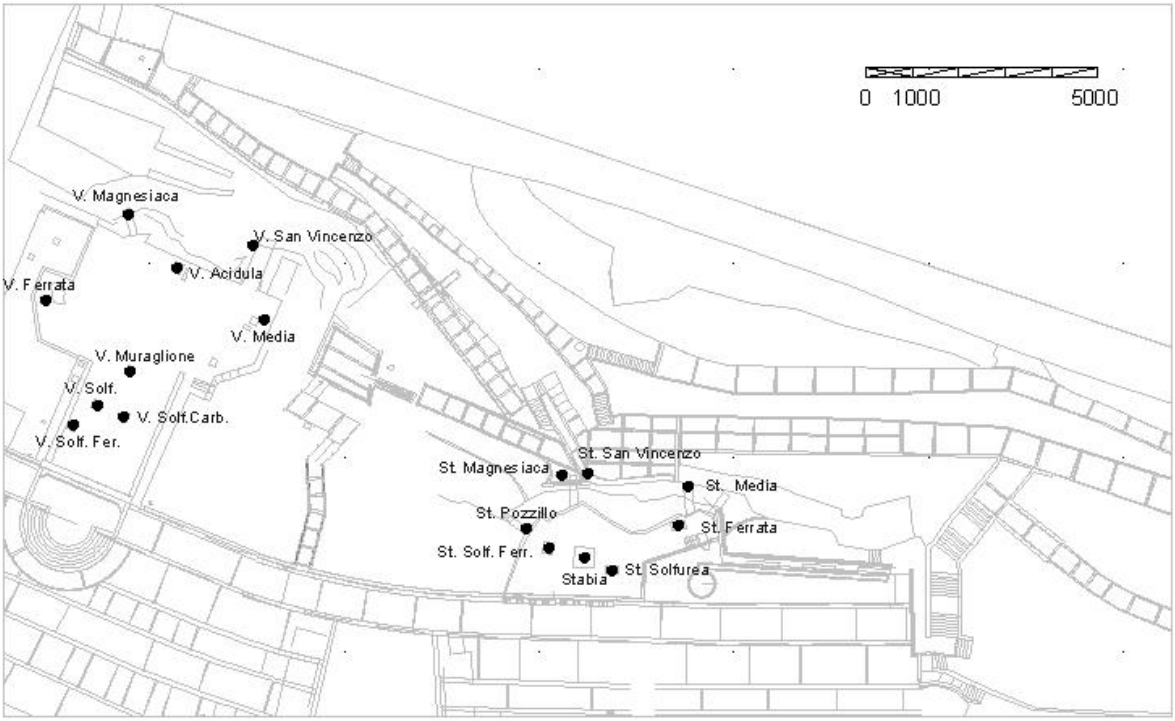


Fig. 1 f.t.: Distribuzione e denominazione delle sorgenti nelle Antiche Terme. In sinistra il gruppo delle sorgenti Vanacore ed a destra quelle del gruppo Stabiano

UNIVERSITÀ DEGLI STUDI DI NAPOLI *FEDERICO II*
DIPARTIMENTO DI CHIMICA "PAOLO CORRADINI"
Complesso Universitario di Monte Sant'Angelo Via Cinthia - 80126 Napoli

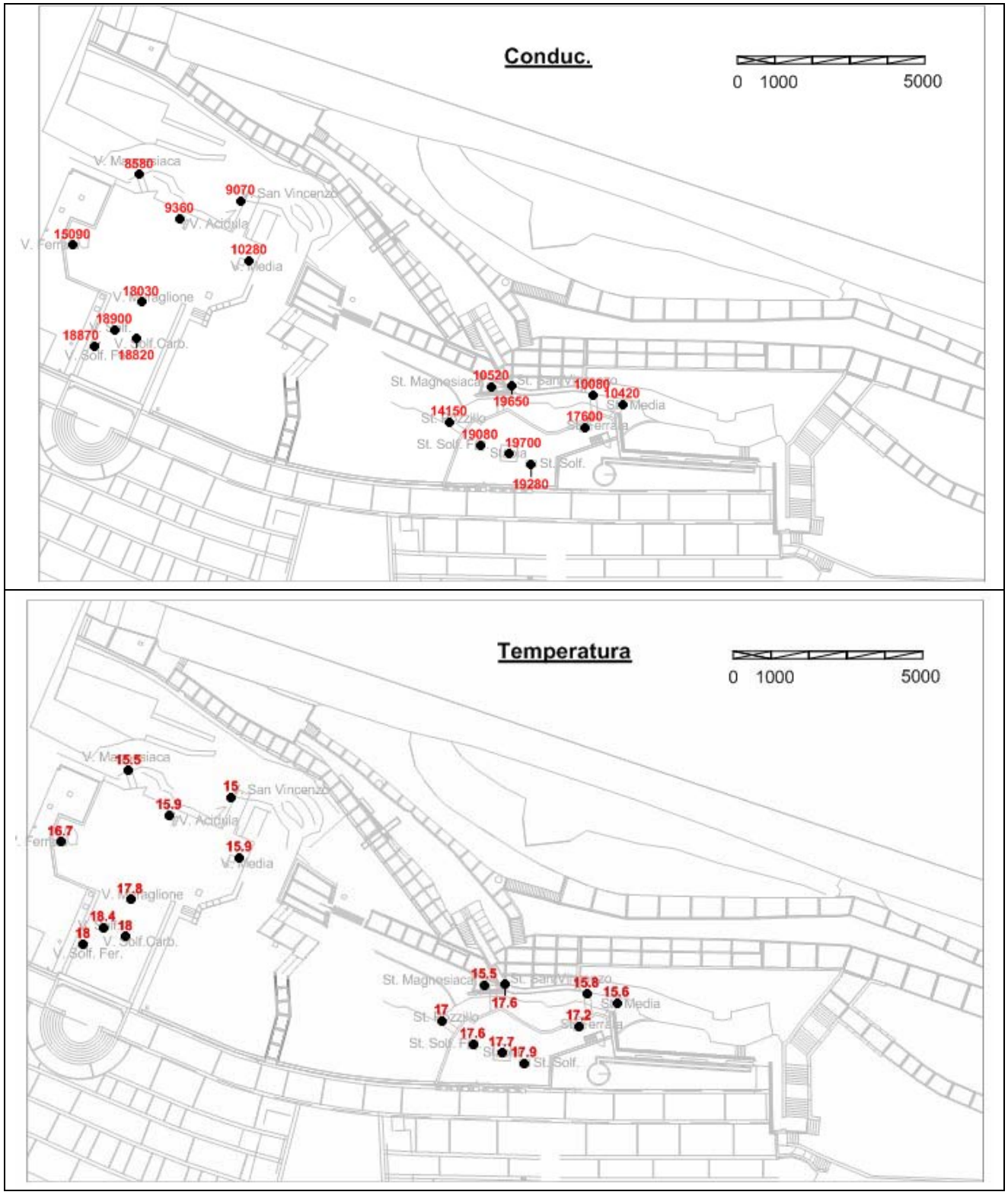


Fig. 2/a f.t.: Distribuzione areale della conducibilità (µS/cm) e della temperatura (°C) nelle Antiche Terme (dati del giugno 2009)

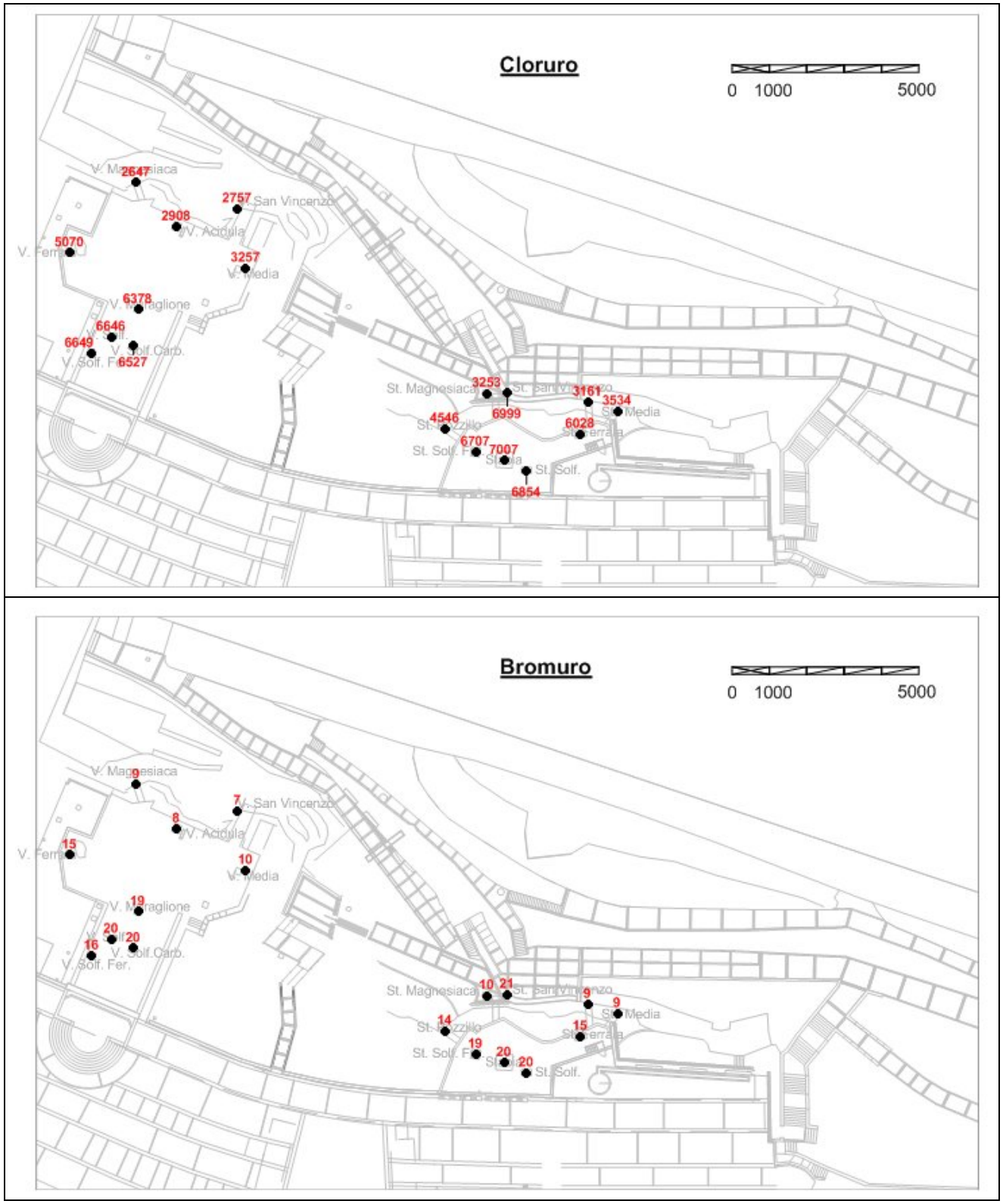


Fig. 2/b f.t.: Distribuzione areale di parametri chimici nelle Antiche Terme (mg/l - dati del giugno 2009)

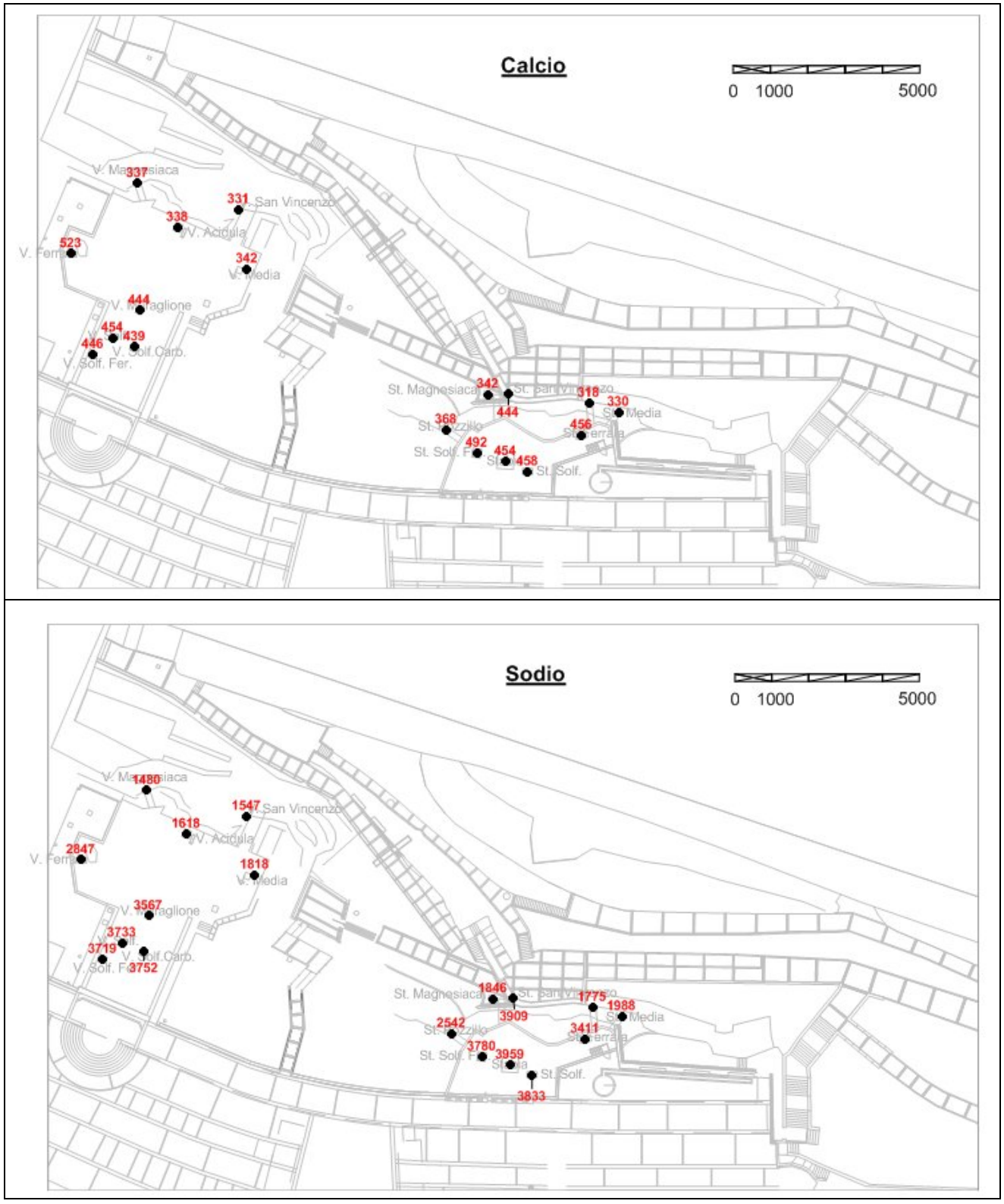


Fig. 2/c f.t.: Distribuzione areale di parametri chimici nelle Antiche Terme (mg/l - dati del giugno 2009)

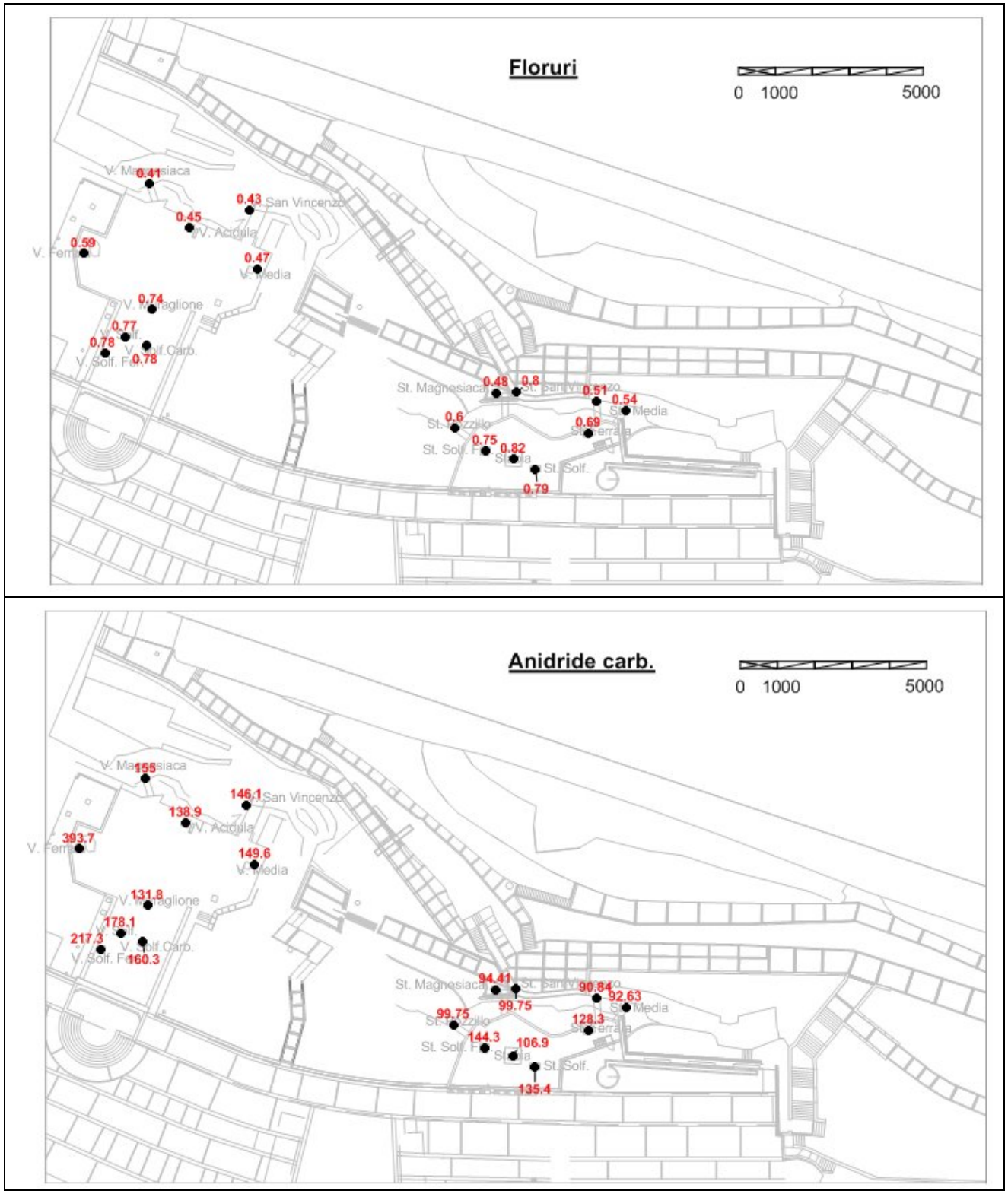


Fig. 2/d f.t.: Distribuzione areale di parametri chimici nelle Antiche Terme (mg/l - dati del giugno 2009)

UNIVERSITÀ DEGLI STUDI DI NAPOLI *FEDERICO II*
DIPARTIMENTO DI CHIMICA "PAOLO CORRADINI"
Complesso Universitario di Monte Sant'Angelo Via Cinthia - 80126 Napoli

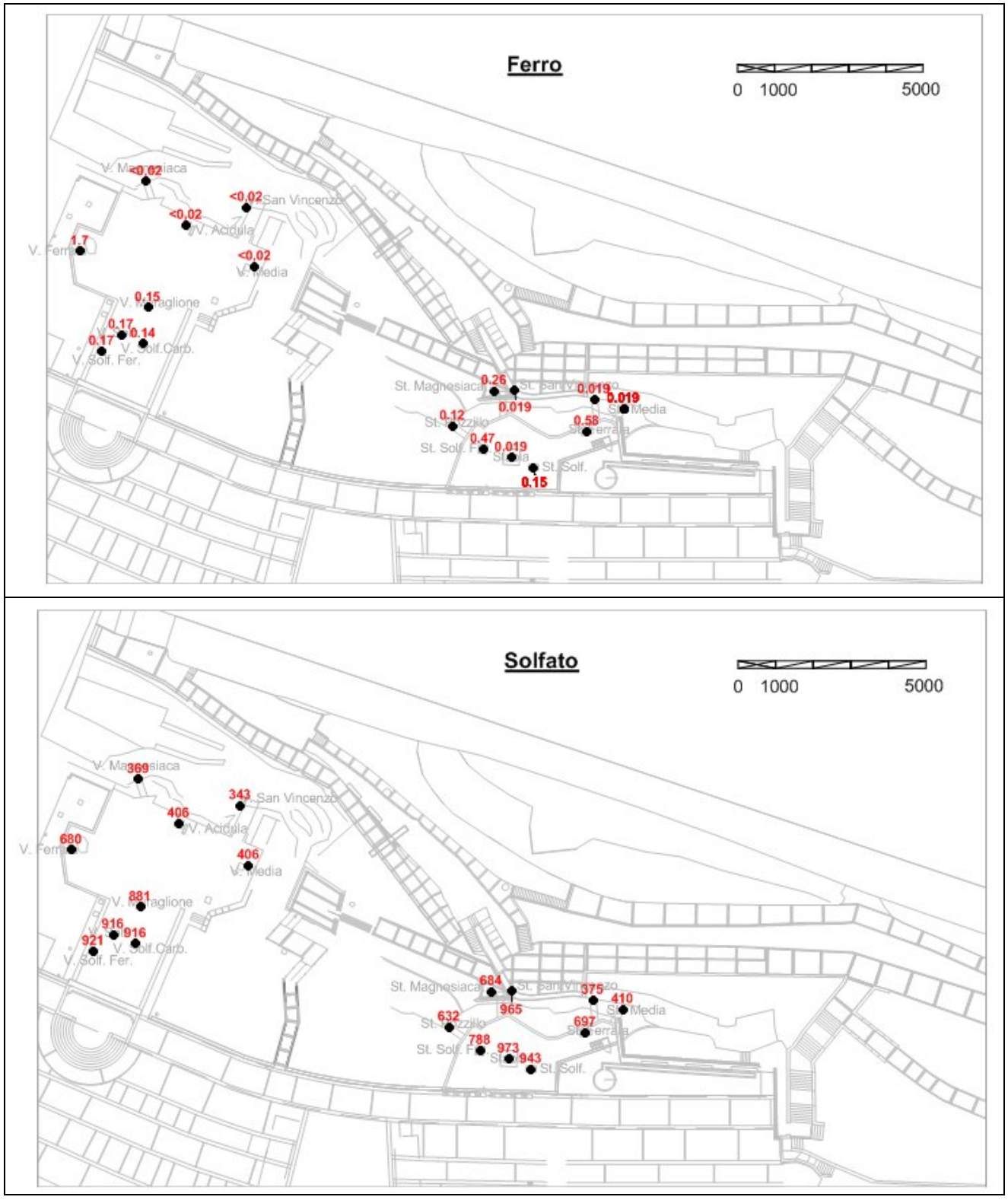


Fig. 2/e f.t.: Distribuzione areale di parametri chimici nelle Antiche Terme (mg/l - dati del giugno 2009)

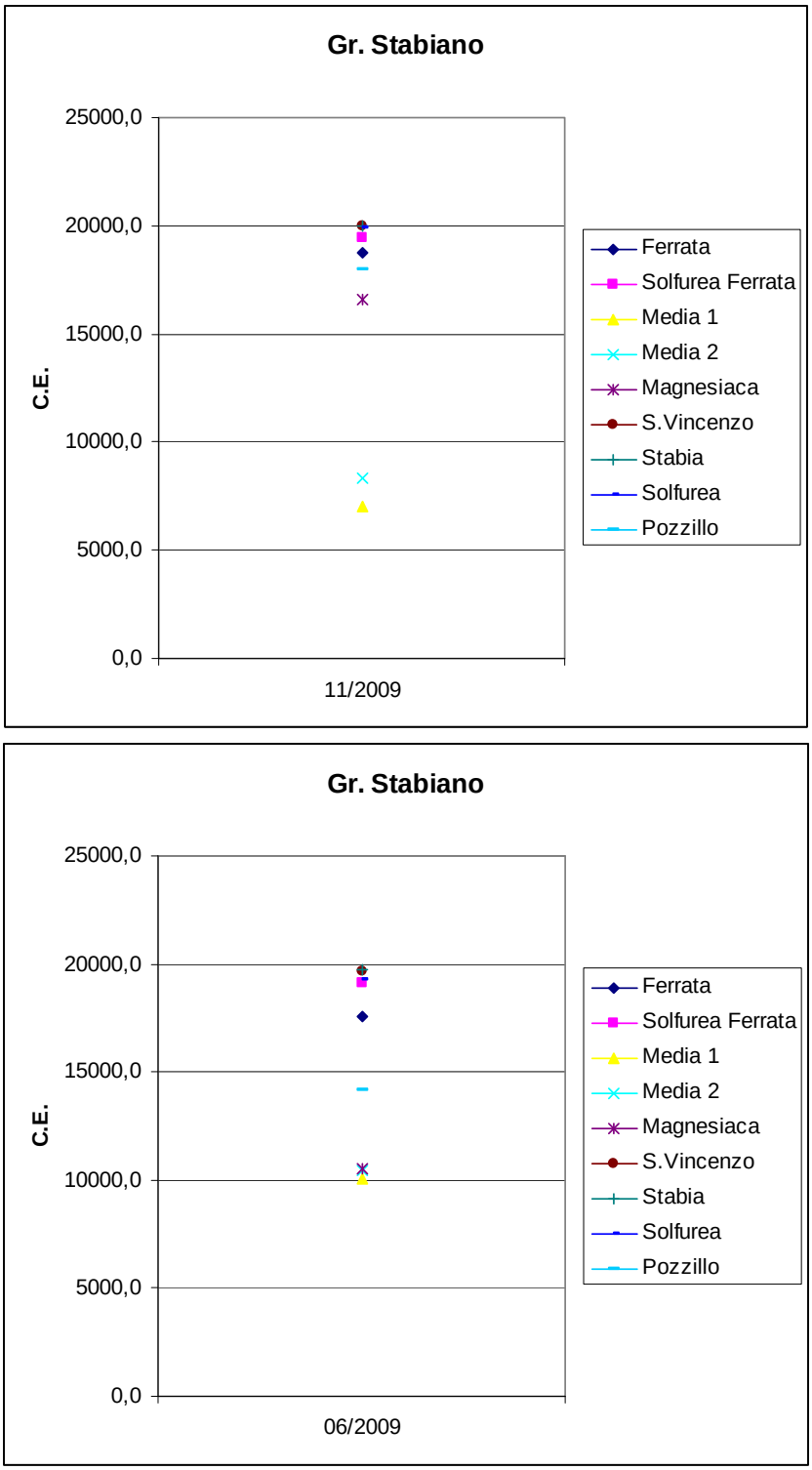
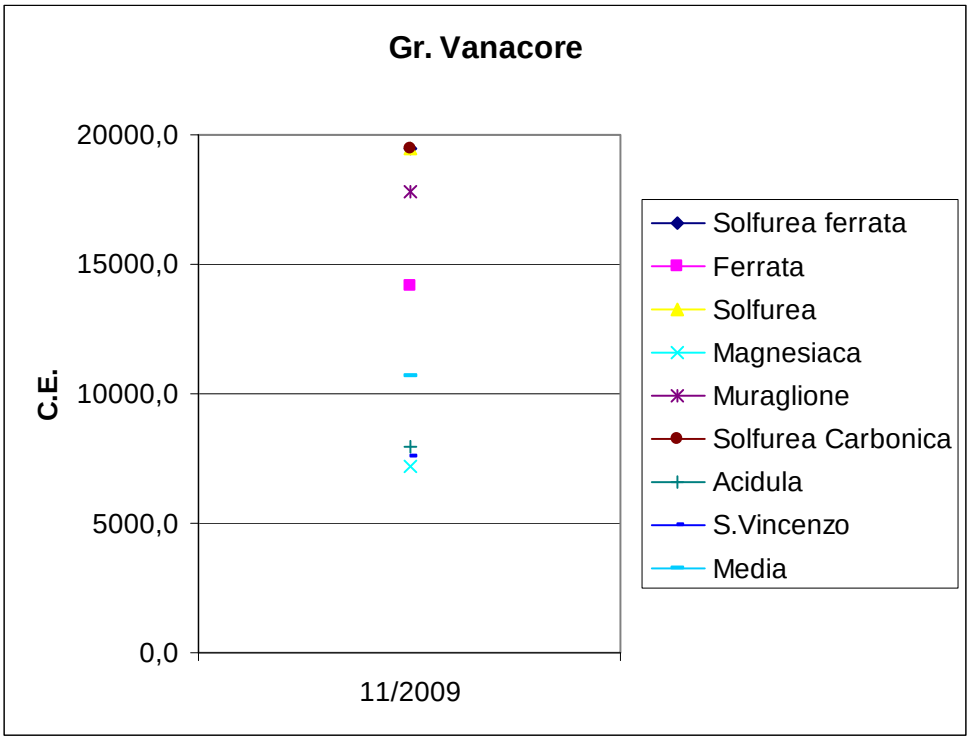


Fig. 3/a f.t.: Differenziazione per valori di Conducibilità Elettrica (C.E. in µS/cm) delle sorgenti del Gr. Stabiano (nel novembre e nel giugno 2009)



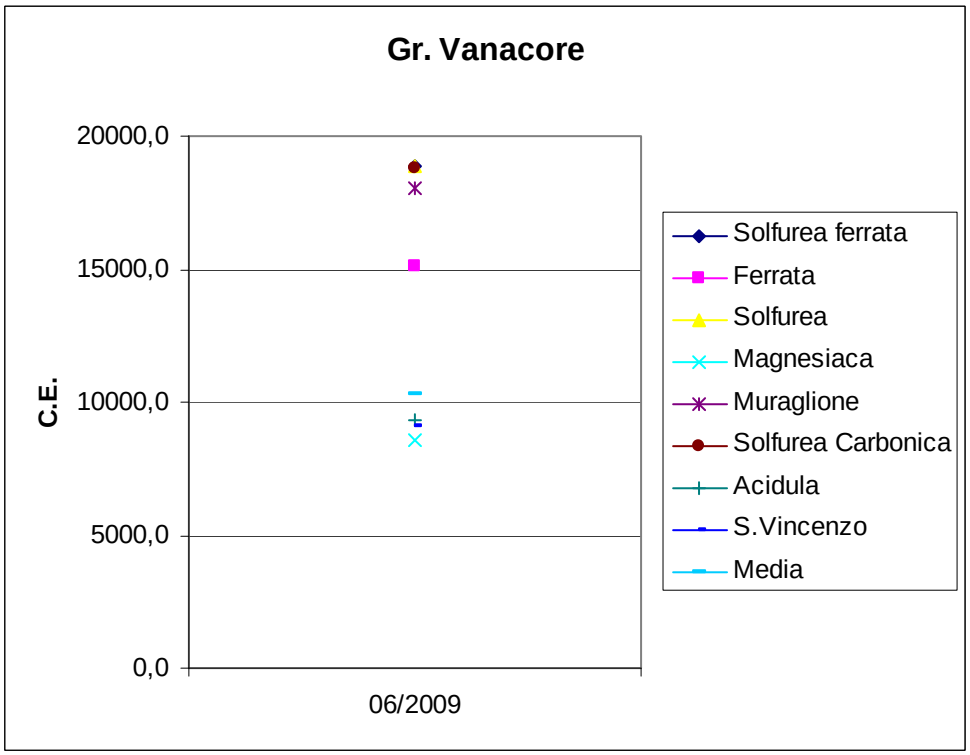


Fig. 3/b f.t.: Differenziazione per valori di Conducibilità Elettrica (C.E. in µS/cm) delle sorgenti del Gr. Vanacore (nel novembre e nel giugno 2009)

UNIVERSITÀ DEGLI STUDI DI NAPOLI *FEDERICO II*
DIPARTIMENTO DI CHIMICA "PAOLO CORRADINI"
Complesso Universitario di Monte Sant'Angelo Via Cinthia - 80126 Napoli

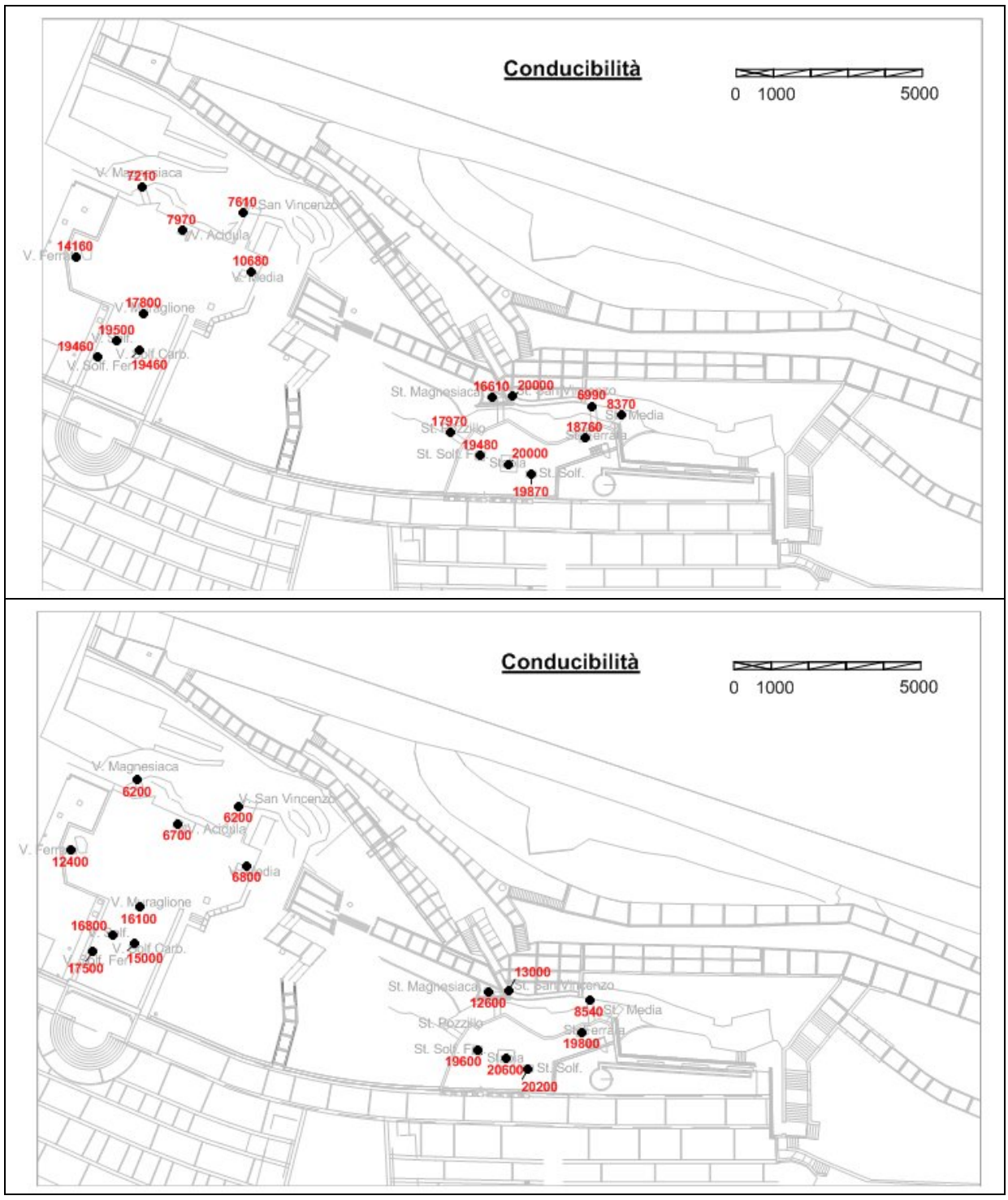


Fig. 4 f.t.: Distribuzione della conducibilità elettrica (µS/cm) nelle Antiche Terme; in alto nel novembre 2009 ed in basso nell'ottobre del 2001

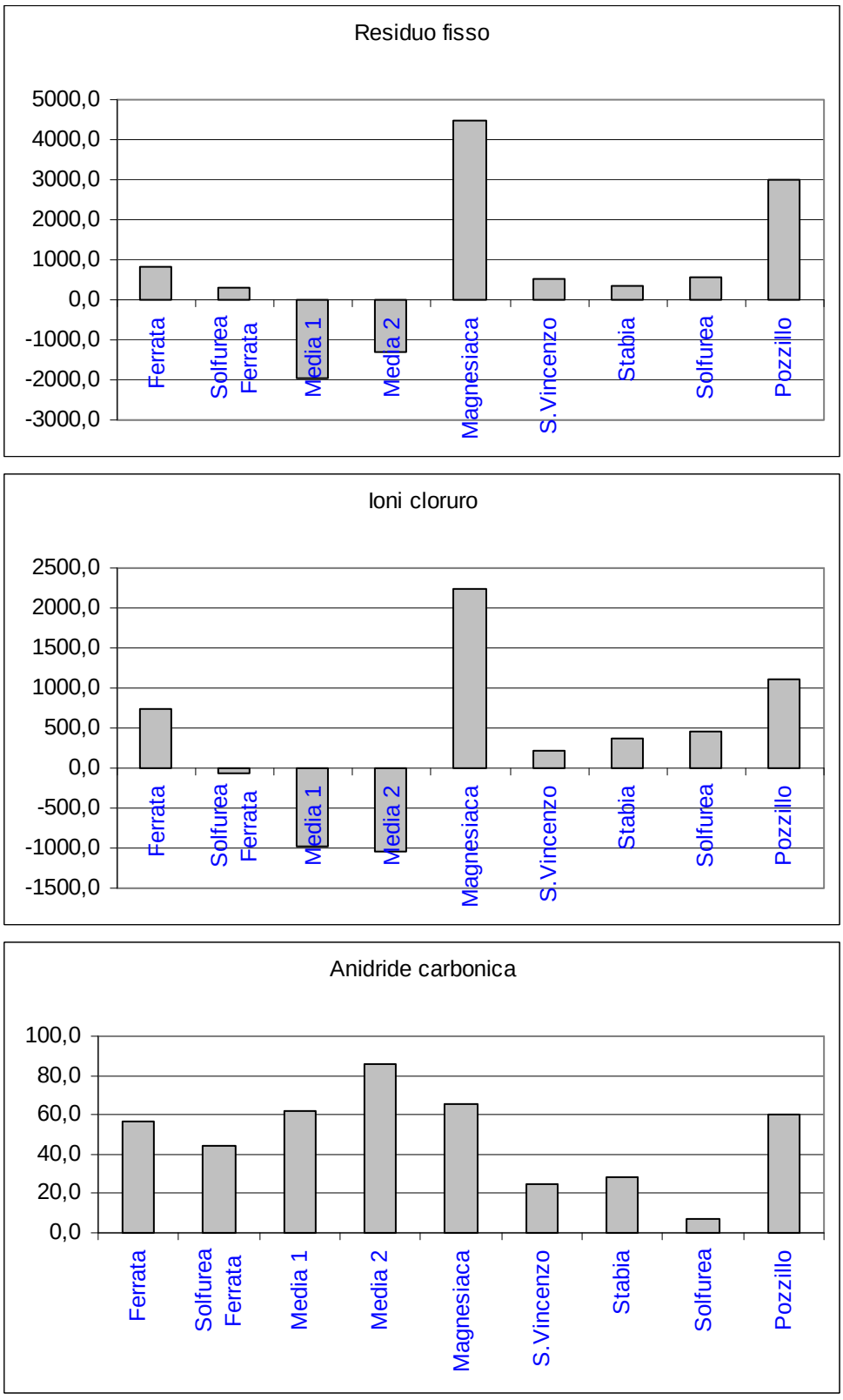


Fig. 5/a f.t.: Differenze (per le sorgenti del Gruppo Stabiano) tra i valori del novembre 2009 e quelli del giugno 2009

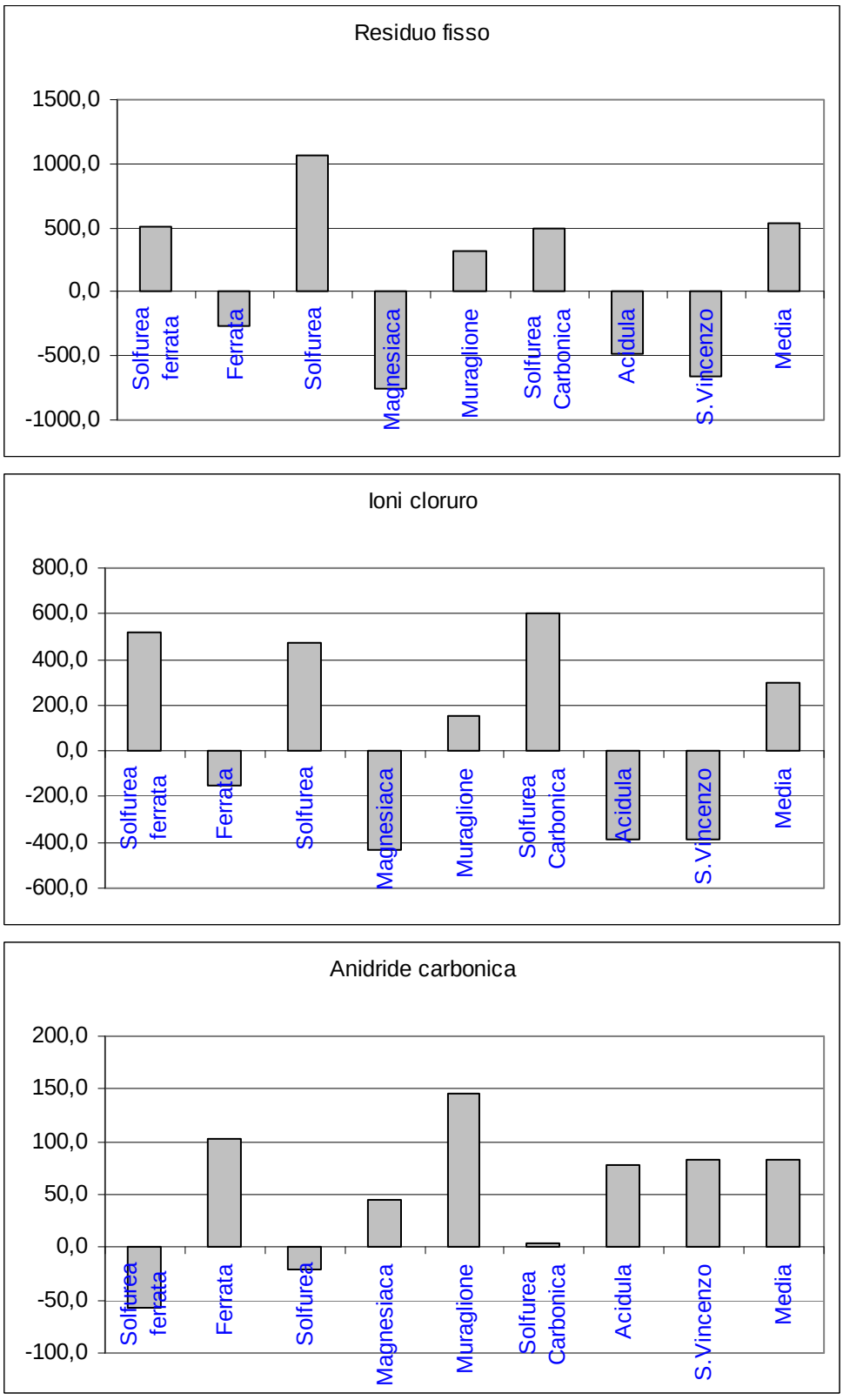


Fig. 5/b f.t.: Differenze (per le sorgenti del Gruppo Vanacore) tra i valori del novembre 2009 e quelli del giugno 2009

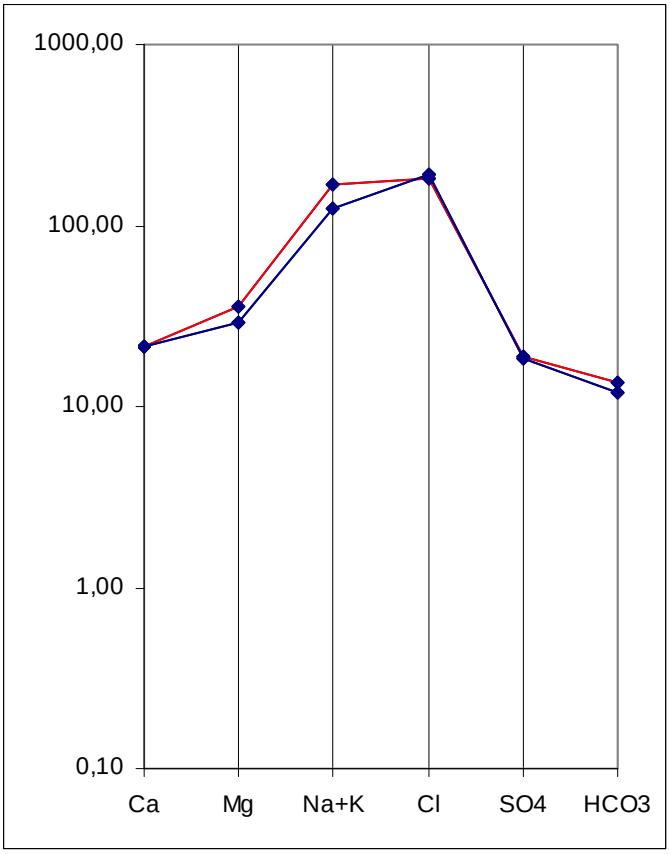


Fig. 6/a f.t.: Grafici di Schoeller-Berkaloff (i valori in ordinata sono in meq/l) della sorgente Van. Sulfureo-carbonica (rosso: 06/09; blu: 05/01)

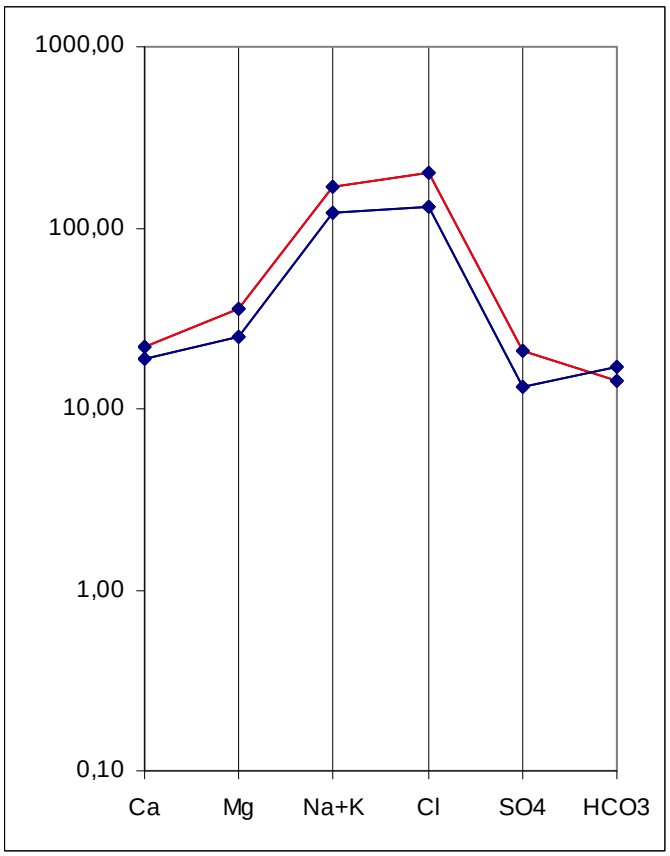


Fig. 6/a f.t.: Grafici di Schoeller-Berkaloff (i valori in ordinata sono in meq/l) della sorgente Van. Sulfureo-carbonica (rosso: 11/09; blu: 10/01)

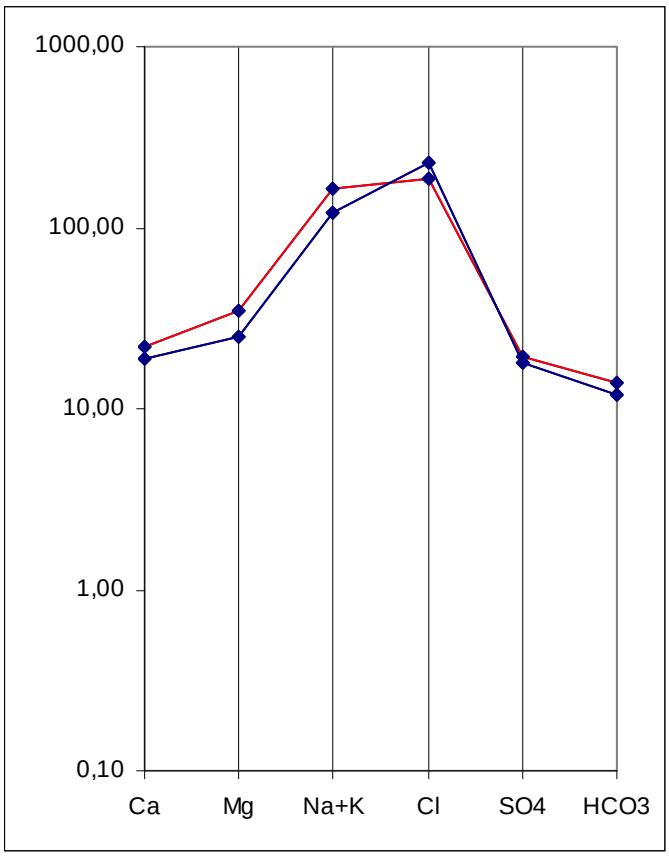


Fig. 6/b f.t.: Grafici di Schoeller-Berkaloff (i valori in ordinata sono in meq/l) della sorgente Van. Sulfureo-ferrata (rosso: 06/09; blu: 05/01)

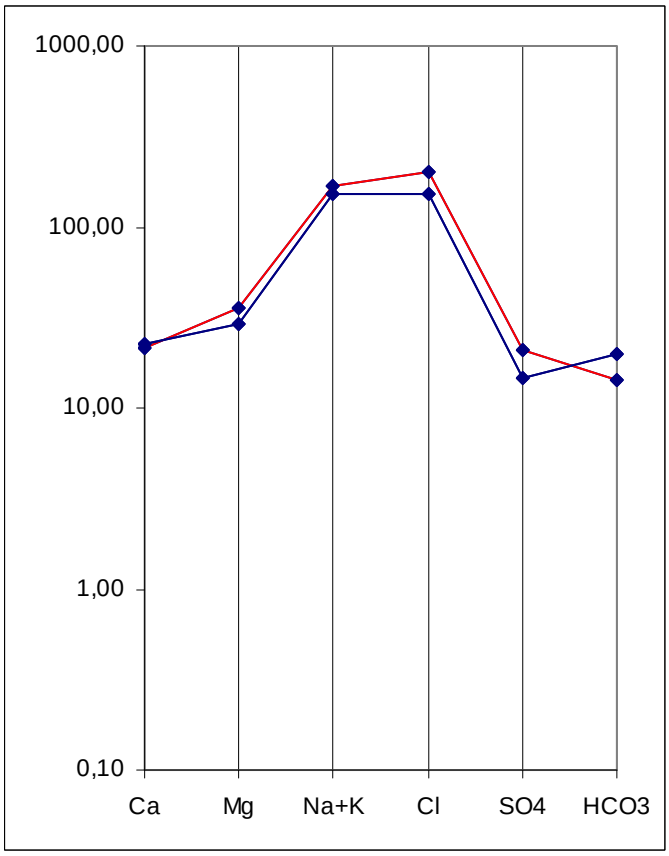


Fig. 6/b f.t.: Grafici di Schoeller-Berkaloff (i valori in ordinata sono in meq/l) della sorgente Van. sulfureo-ferrata (rosso: 11/09; blu: 10/01)

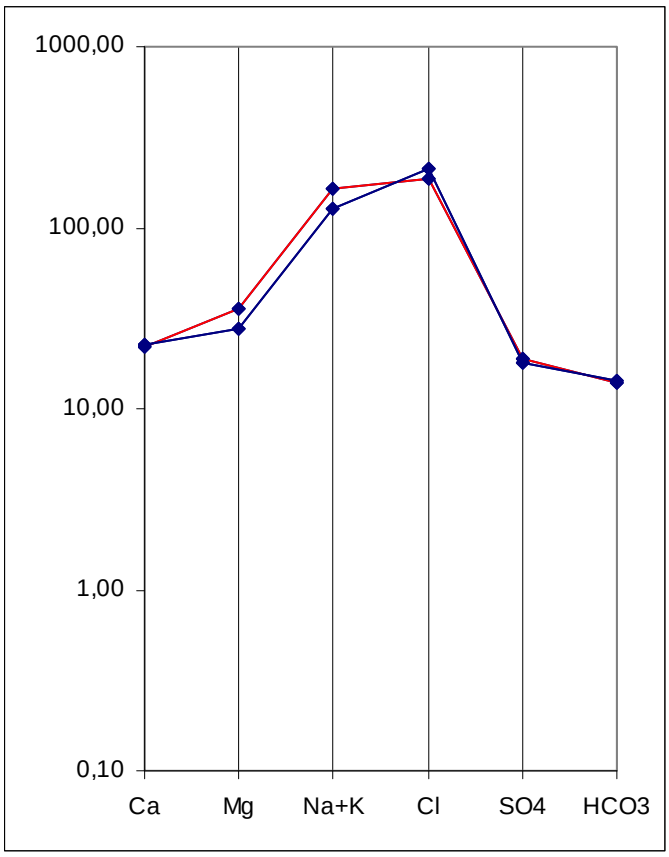


Fig. 6/c f.t.: Grafici di Schoeller-Berkaloff (i valori in ordinata sono in meq/l) della sorgente Van. Sulfurea (rosso: 06/09; blu: 05/01)

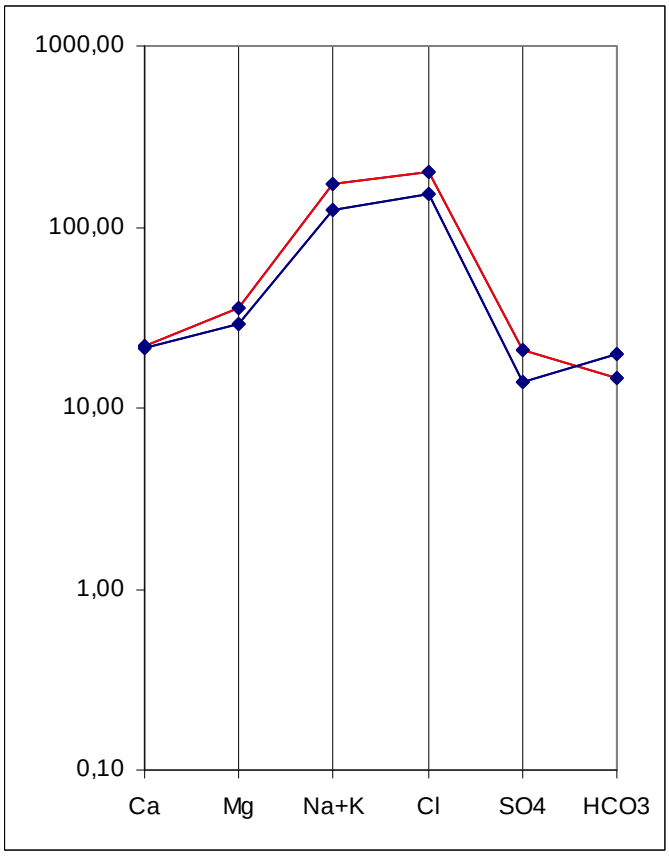


Fig. 6/c f.t.: Grafici di Schoeller-Berkaloff (i valori in ordinata sono in meq/l) della sorgente Van. Sulfurea (rosso: 11/09; blu: 10/01)

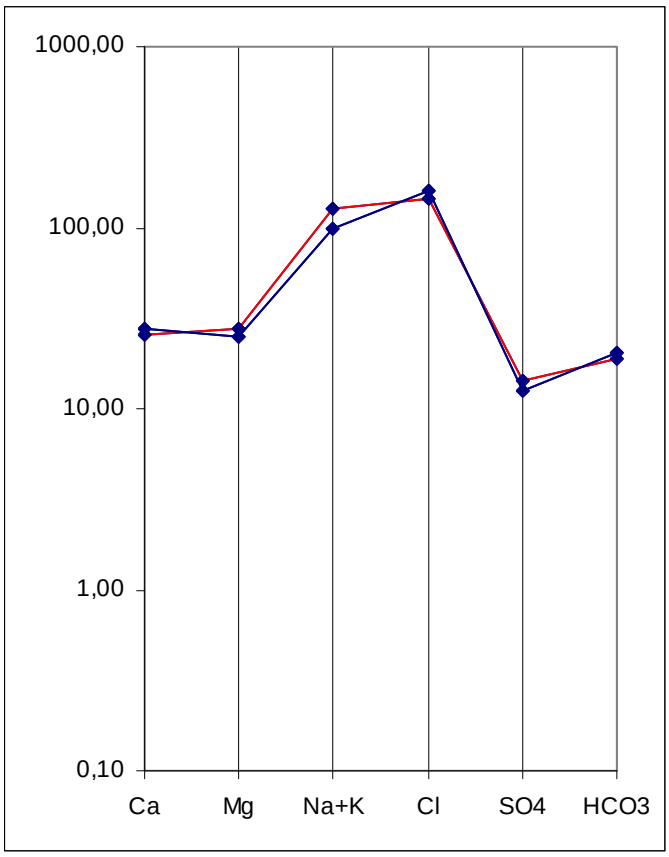


Fig. 6/d f.t.: Grafici di Schoeller-Berkaloff (i valori in ordinata sono in meq/l) della sorgente Van. Ferrata (rosso: 06/09; blu: 05/01)

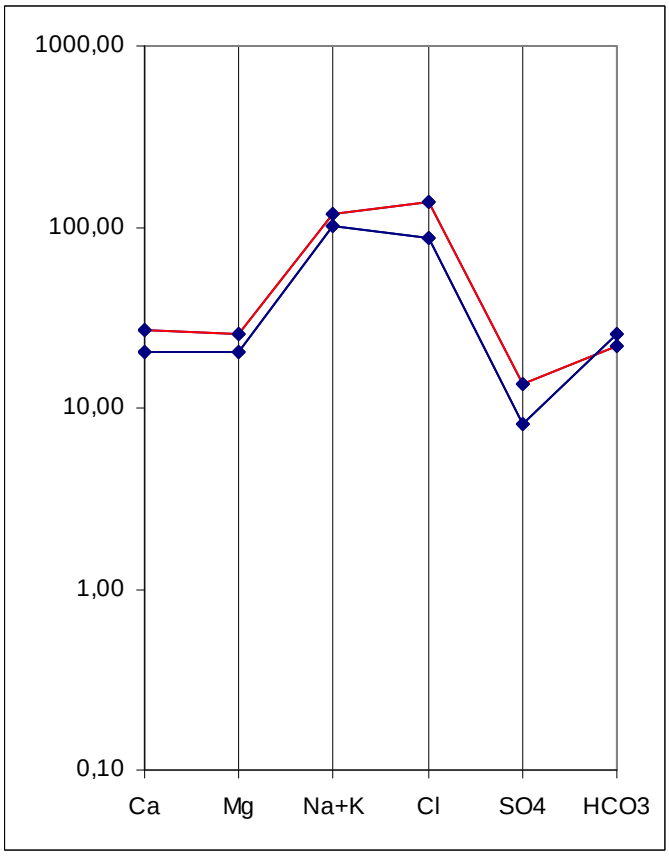


Fig. 6/d f.t.: Grafici di Schoeller-Berkaloff (i valori in ordinata sono in meq/l) della sorgente Van. Ferrata (rosso: 11/09; blu: 10/01)

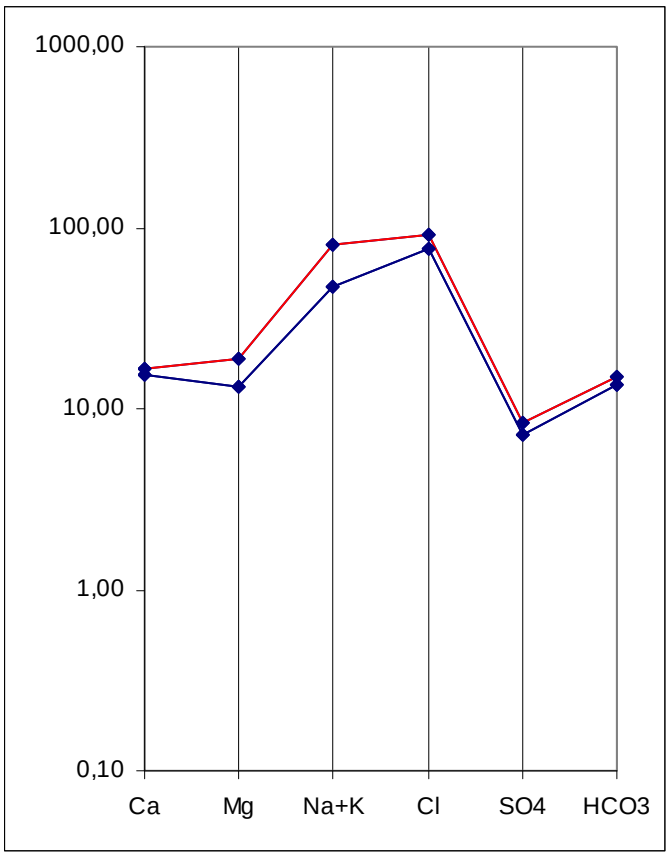


Fig. 6/e f.t.: Grafici di Schoeller-Berkaloff (i valori in ordinata sono in meq/l) della sorgente Van. Acidula (rosso: 06/09; blu: 05/01)

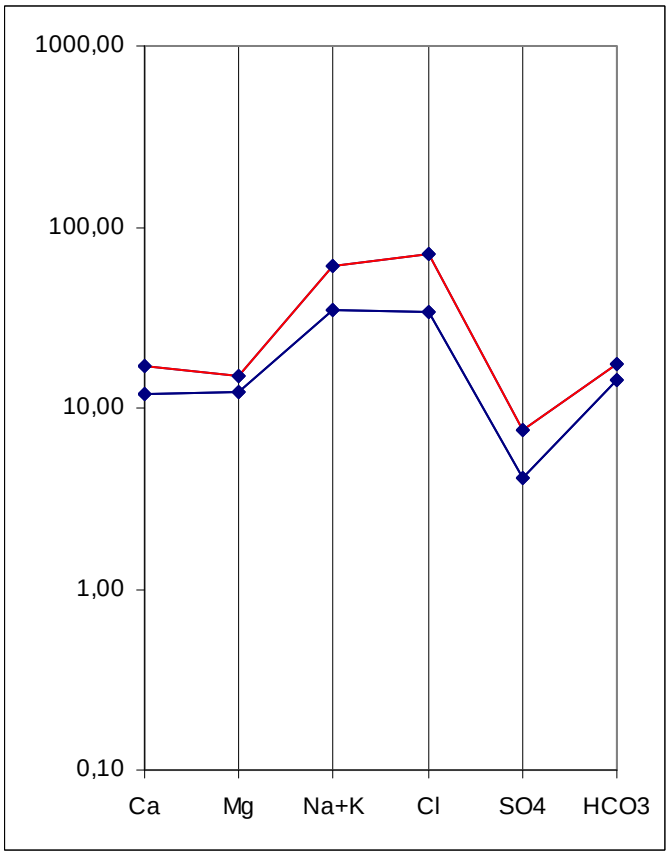


Fig. 6/e f.t.: Grafici di Schoeller-Berkaloff (i valori in ordinata sono in meq/l) della sorgente Van. Acidula (rosso: 11/09; blu: 10/01)

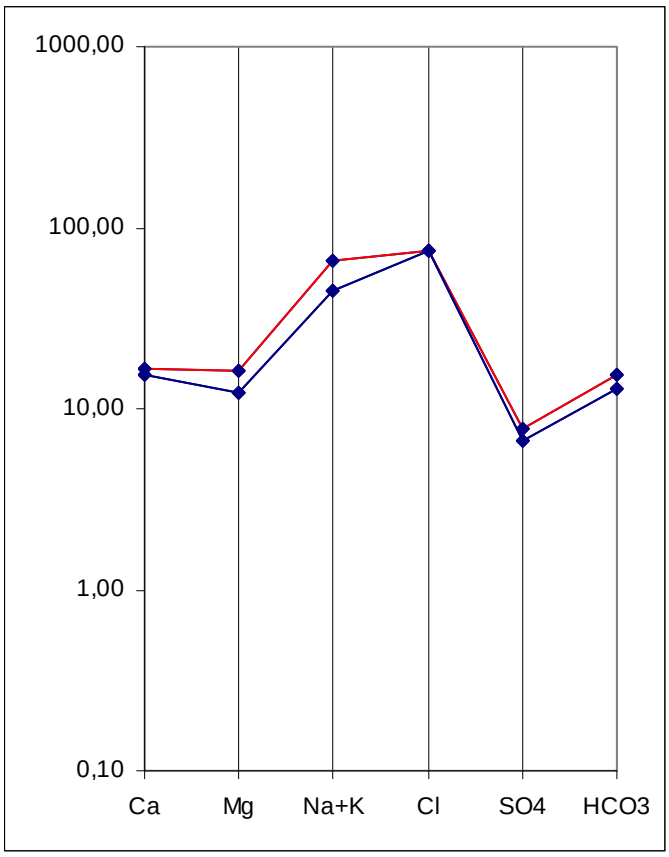


Fig. 6/f f.t.: Grafici di Schoeller-Berkaloff (i valori in ordinata sono in meq/l) della sorgente Van. Magnesiaca (rosso: 06/09; blu: 05/01)

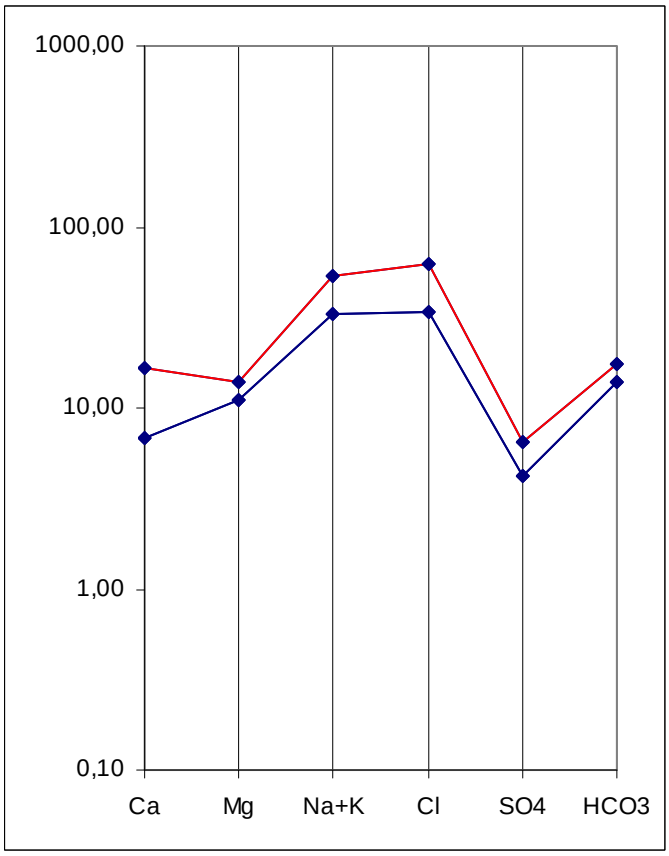


Fig. 6/f f.t.: Grafici di Schoeller-Berkaloff (i valori in ordinata sono in meq/l) della sorgente Van. Magnesiaca (rosso: 11/09; blu: 10/01)

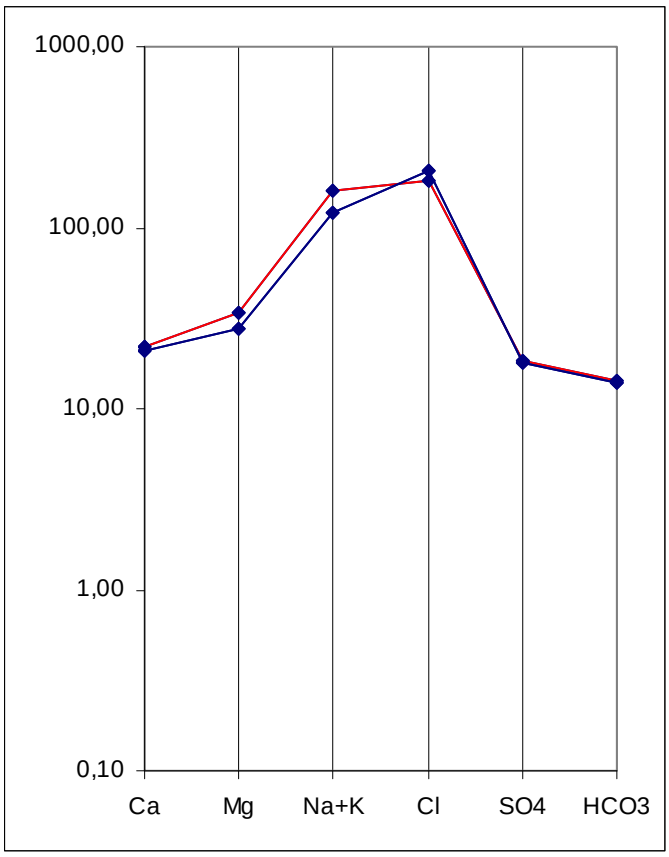


Fig. 6/g f.t.: Grafici di Schoeller-Berkaloff (i valori in ordinata sono in meq/l) della sorgente Van. Muraglione (rosso: 06/09; blu: 05/01)

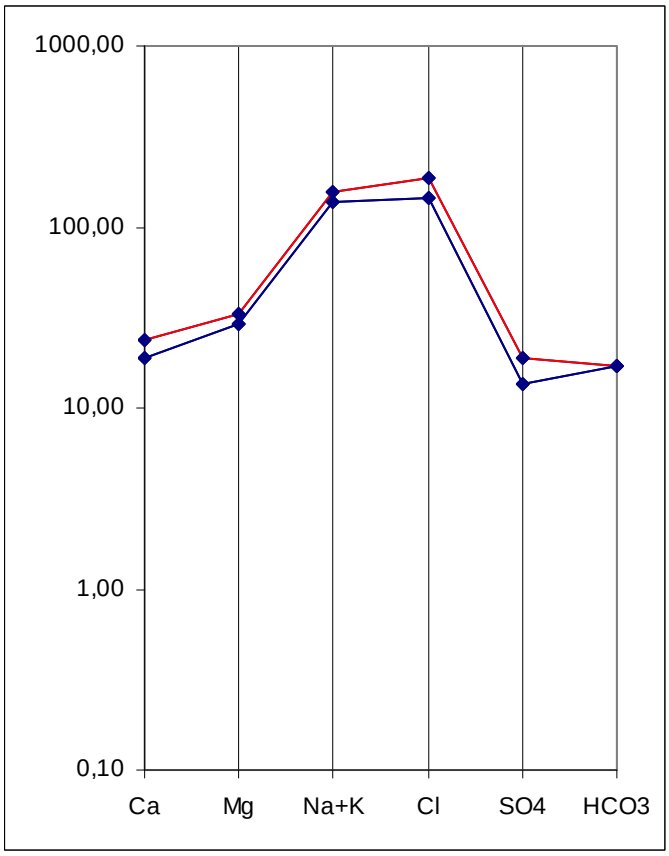


Fig. 6/g f.t.: Grafici di Schoeller-Berkaloff (i valori in ordinata sono in meq/l) della sorgente Van. Muraglione (rosso: 11/09; blu: 10/01)

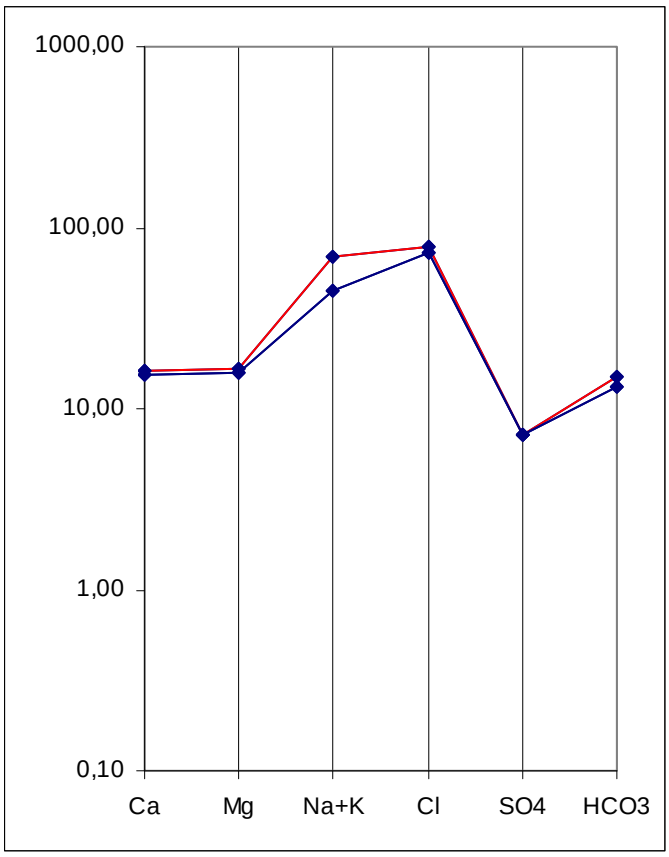


Fig. 6/h f.t.: Grafici di Schoeller-Berkaloff (i valori in ordinata sono in meq/l) della sorgente Van. S. Vincenzo (rosso: 06/09; blu: 05/01)

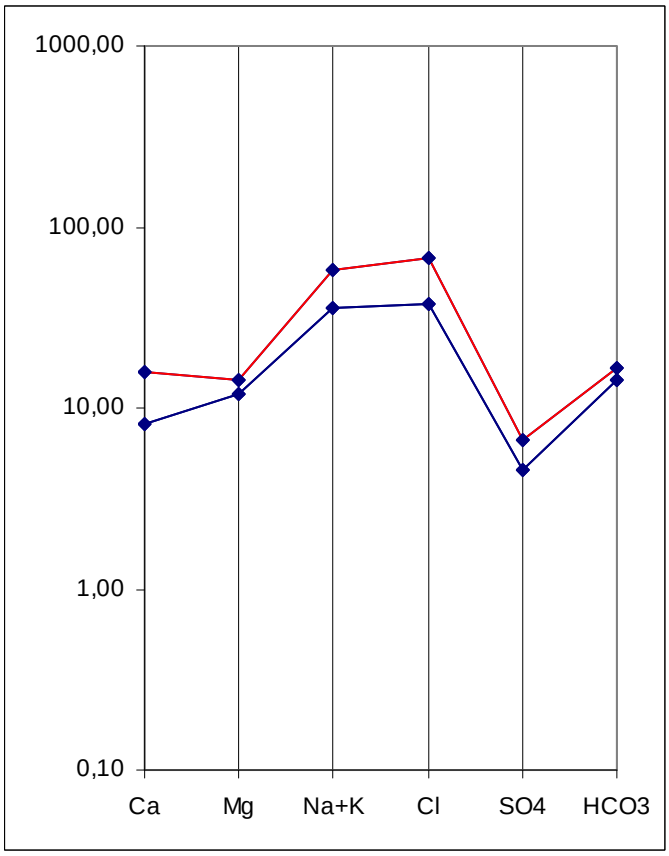


Fig. 6/h f.t.: Grafici di Schoeller-Berkaloff (i valori in ordinata sono in meq/l) della sorgente Van. S. Vincenzo (rosso: 11/09; blu: 10/01)

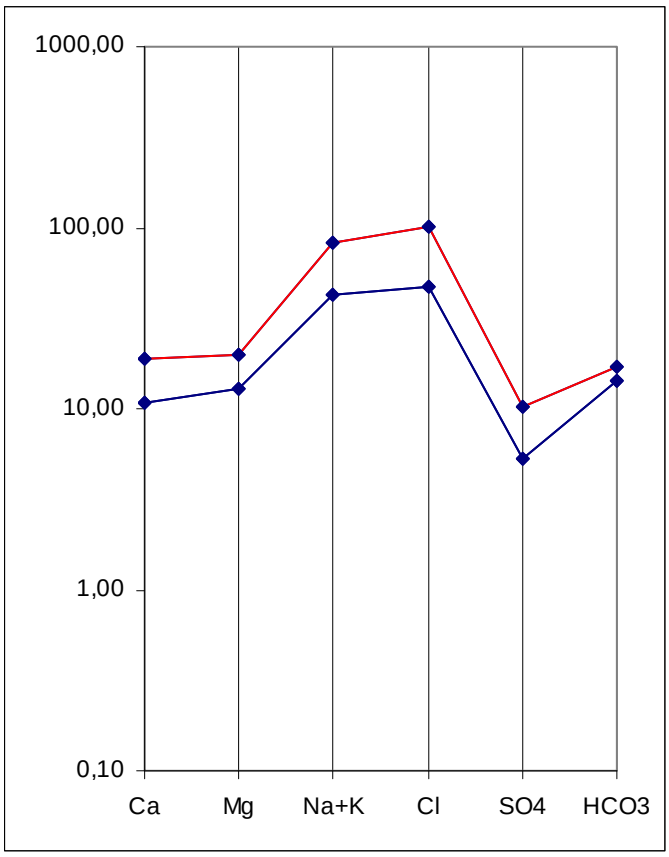


Fig. 6/i f.t.: Grafici di Schoeller-Berkaloff (i valori in ordinata sono in meq/l) della sorgente Van. Media (rosso: 11/09; blu: 10/01)

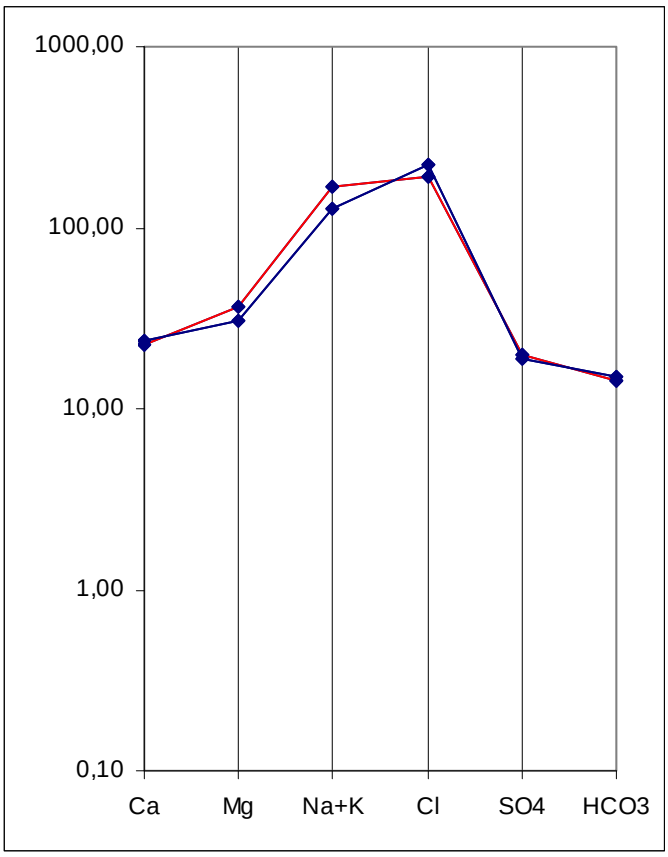


Fig. 6/l f.t.: Grafici di Schoeller-Berkaloff (i valori in ordinata sono in meq/l) della sorgente Stab. Sulfurea (rosso: 06/09; blu: 05/01)

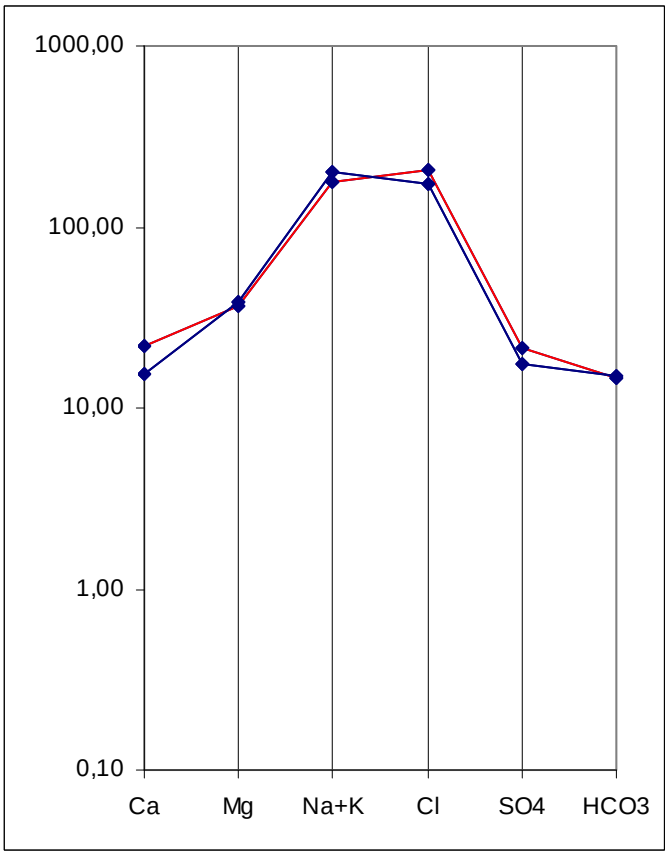


Fig. 6/l f.t.: Grafici di Schoeller-Berkaloff (i valori in ordinata sono in meq/l) della sorgente Stab. Sulfurea (rosso: 11/09; blu: 10/01)

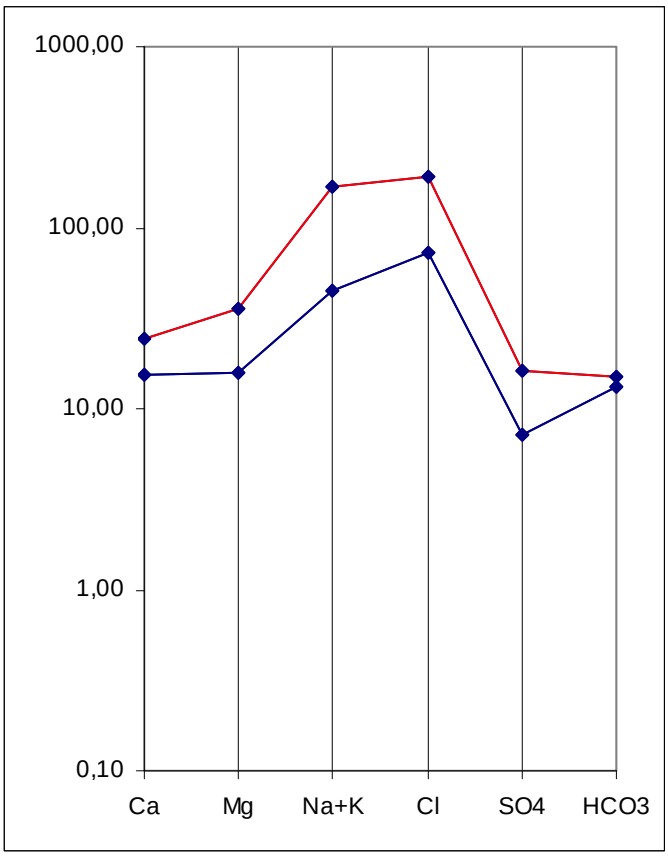


Fig. 6/m f.t.: Grafici di Schoeller-Berkaloff (i valori in ordinata sono in meq/l) della sorgente Stab. Sulfureo-ferrata (rosso: 06/09; blu: 05/01)

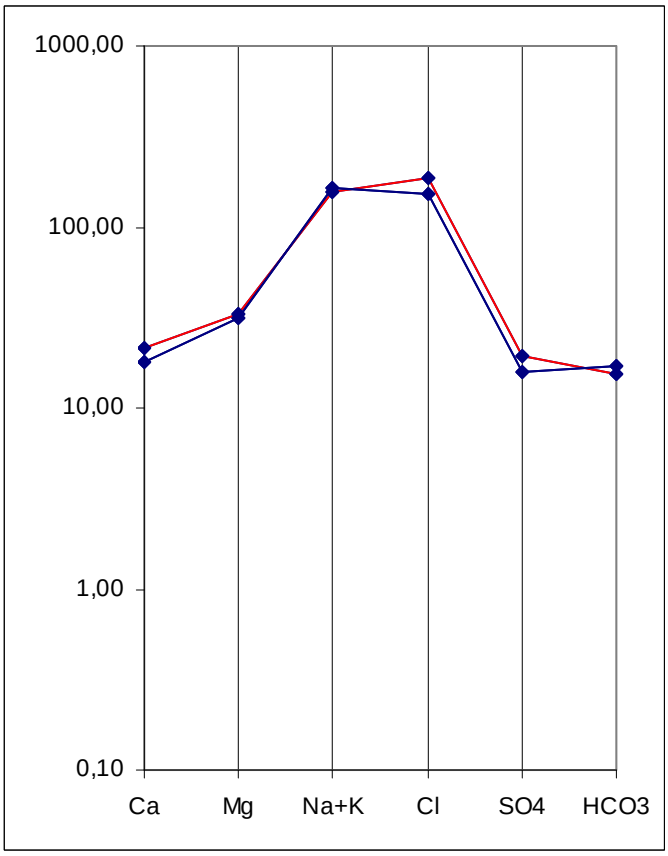


Fig. 6/m f.t.: Grafici di Schoeller-Berkaloff (i valori in ordinata sono in meq/l) della sorgente Stab. Sulfureo-ferrata (rosso: 11/09; blu: 10/01)

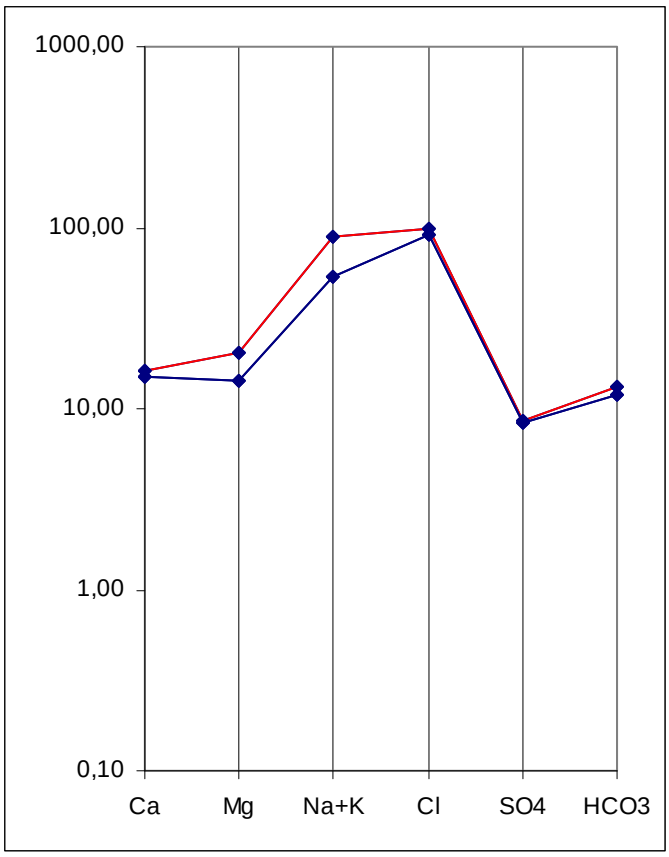


Fig. 6/n f.t.: Grafici di Schoeller-Berkaloff (i valori in ordinata sono in meq/l) della sorgente Stab. Media (rosso: 06/09; blu: 05/01)

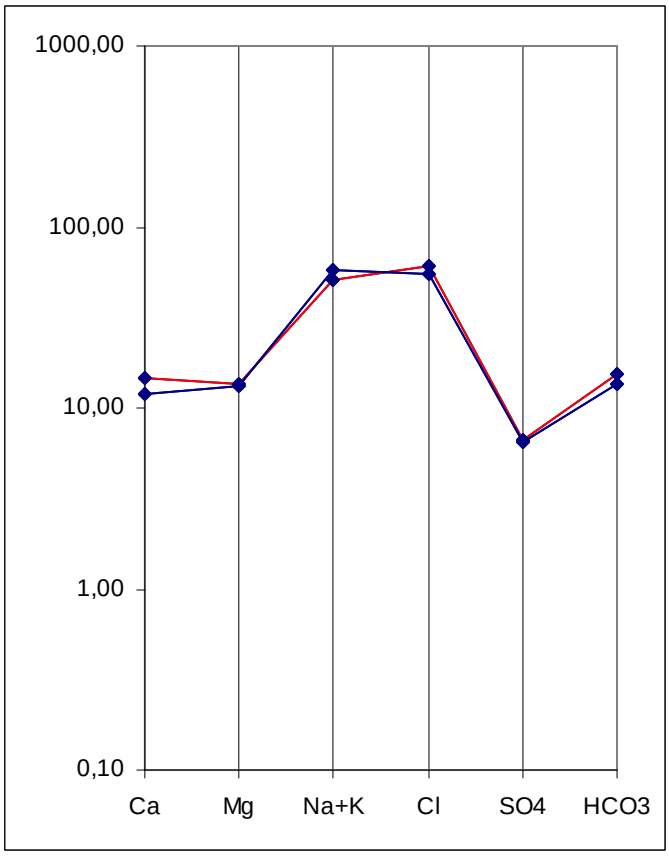


Fig. 6/n f.t.: Grafici di Schoeller-Berkaloff (i valori in ordinata sono in meq/l) della sorgente Stab. Media (rosso: 11/09; blu: 10/01)

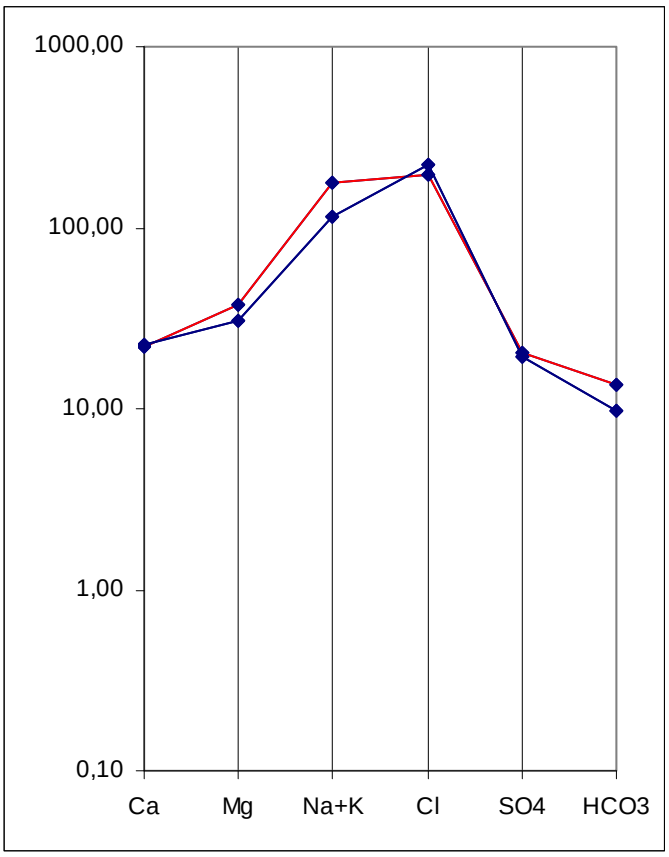


Fig. 6/o f.t.: Grafici di Schoeller-Berkaloff (i valori in ordinata sono in meq/l) della sorgente Stab. Stabia (rosso: 06/09; blu: 05/01)

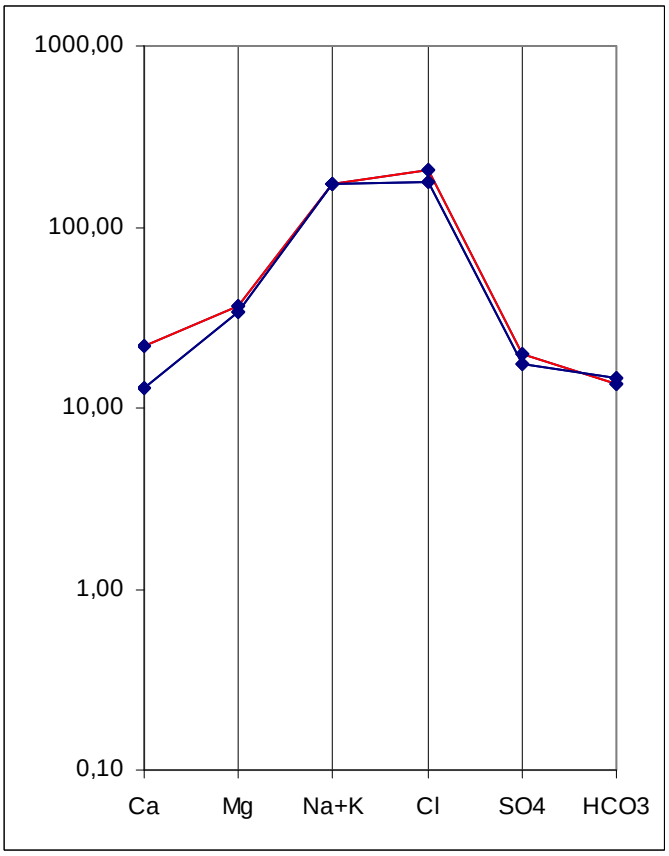


Fig. 6/o f.t.: Grafici di Schoeller-Berkaloff (i valori in ordinata sono in meq/l) della sorgente Stab. Stabia (rosso: 11/09; blu: 10/01)

UNIVERSITÀ DEGLI STUDI DI NAPOLI *FEDERICO II*
DIPARTIMENTO DI CHIMICA "PAOLO CORRADINI"
Complesso Universitario di Monte Sant'Angelo Via Cinthia - 80126 Napoli

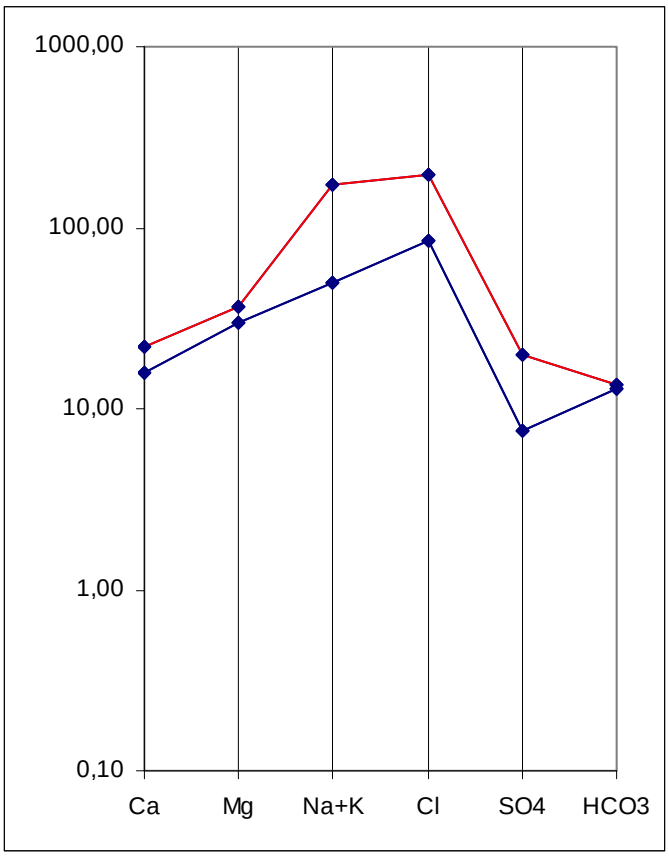


Fig. 6/p f.t.: Grafici di Schoeller-Berkaloff (i valori in ordinata sono in meq/l) della sorgente Stab. S. Vincenzo (rosso: 06/09; blu: 05/01)

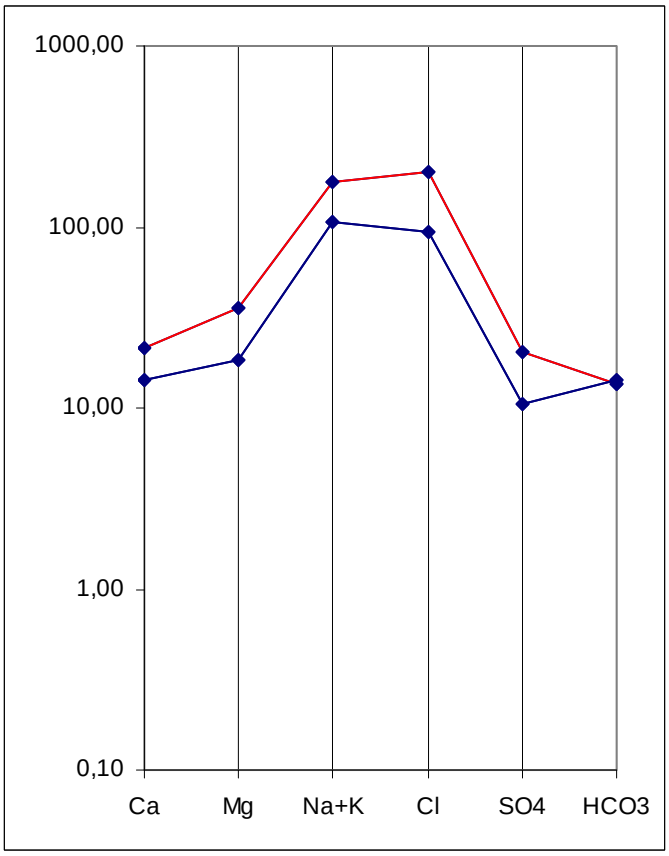


Fig. 6/p f.t.: Grafici di Schoeller-Berkaloff (i valori in ordinata sono in meq/l) della sorgente Stab. S. Vincenzo (rosso: 11/09; blu: 10/01)

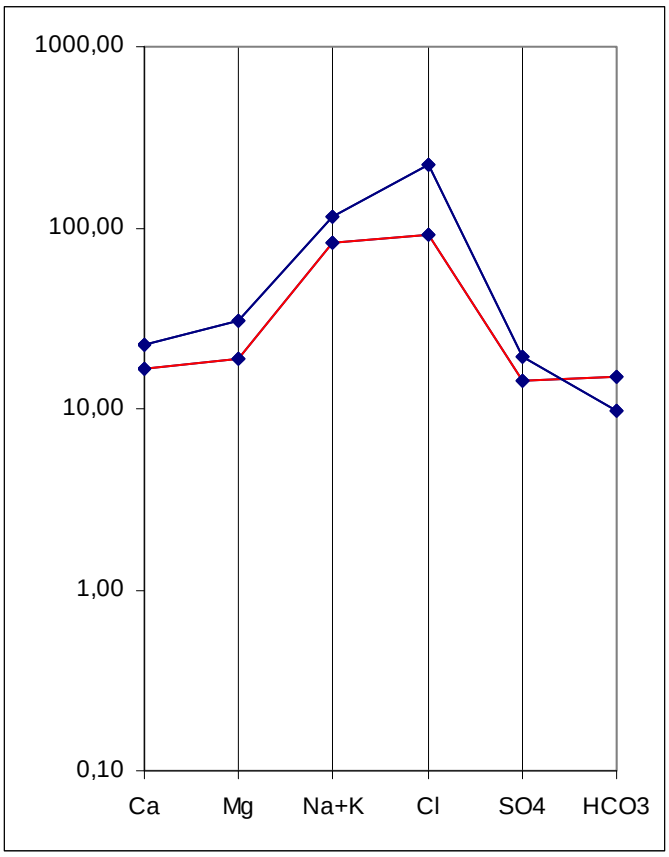


Fig. 6/q f.t.: Grafici di Schoeller-Berkaloff (i valori in ordinata sono in meq/l) della sorgente Stab. Magnesiaca (rosso: 06/09; blu: 05/01)

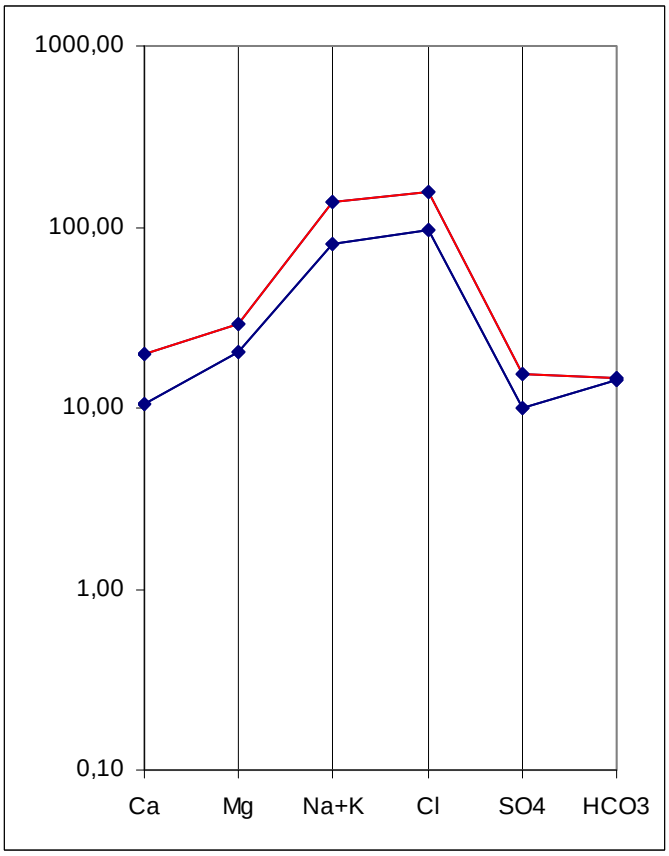


Fig. 6/q f.t.: Grafici di Schoeller-Berkaloff (i valori in ordinata sono in meq/l) della sorgente Stab. Magnesiaca (rosso: 11/09; blu: 10/01)

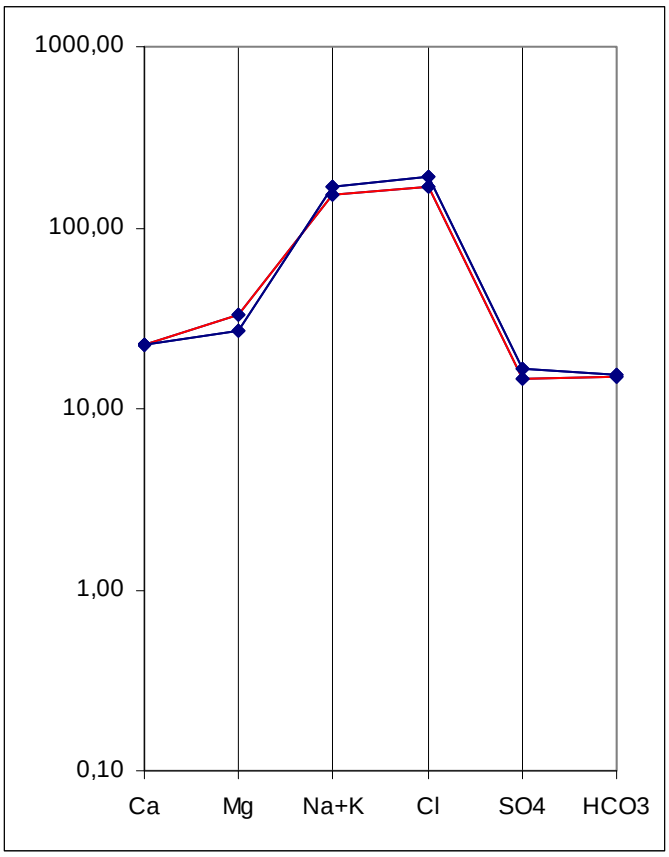


Fig. 6/r f.t.: Grafici di Schoeller-Berkaloff (i valori in ordinata sono in meq/l) della sorgente Stab. Ferrata (rosso: 06/09; blu: 05/01)

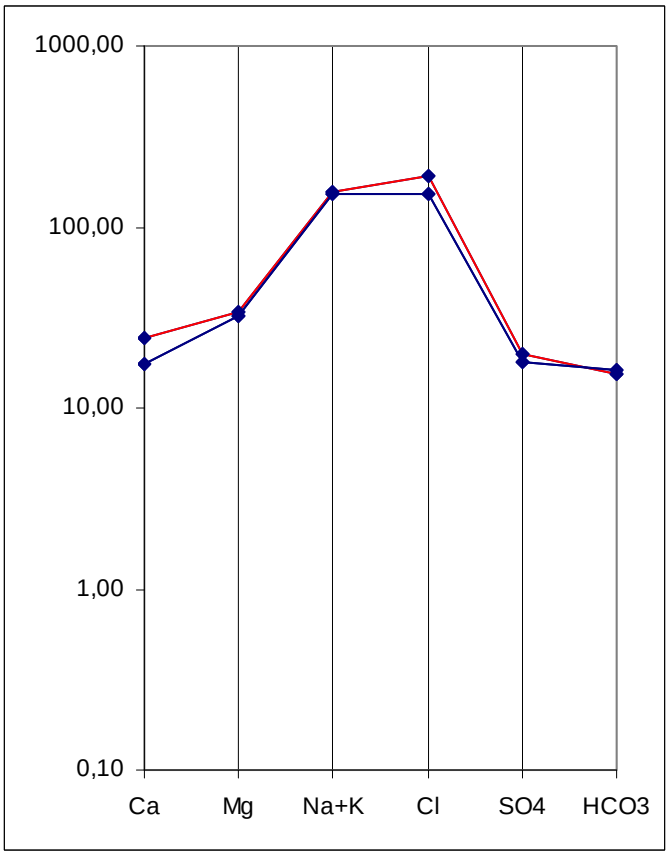


Fig. 6/r f.t.: Grafici di Schoeller-Berkaloff (i valori in ordinata sono in meq/l) della sorgente Stab. Ferrata (rosso: 11/09; blu: 10/01)

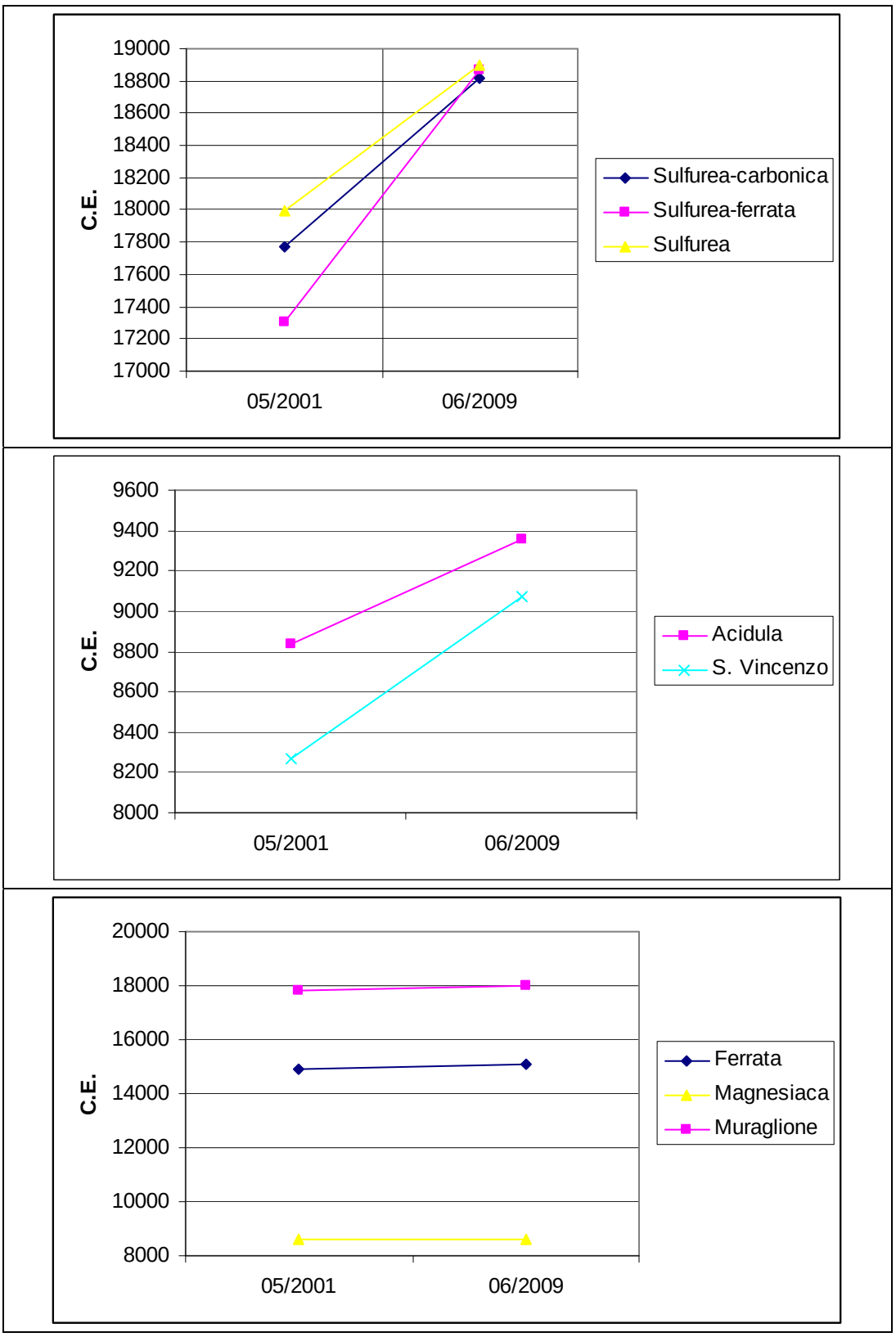


Fig. 7/a f.t.: Variazione della Conducibilità Elettrica (C.E. in µS/cm) alle Sorgenti del Gruppo Vanacore tra il maggio del 2001 ed il giugno del 2009

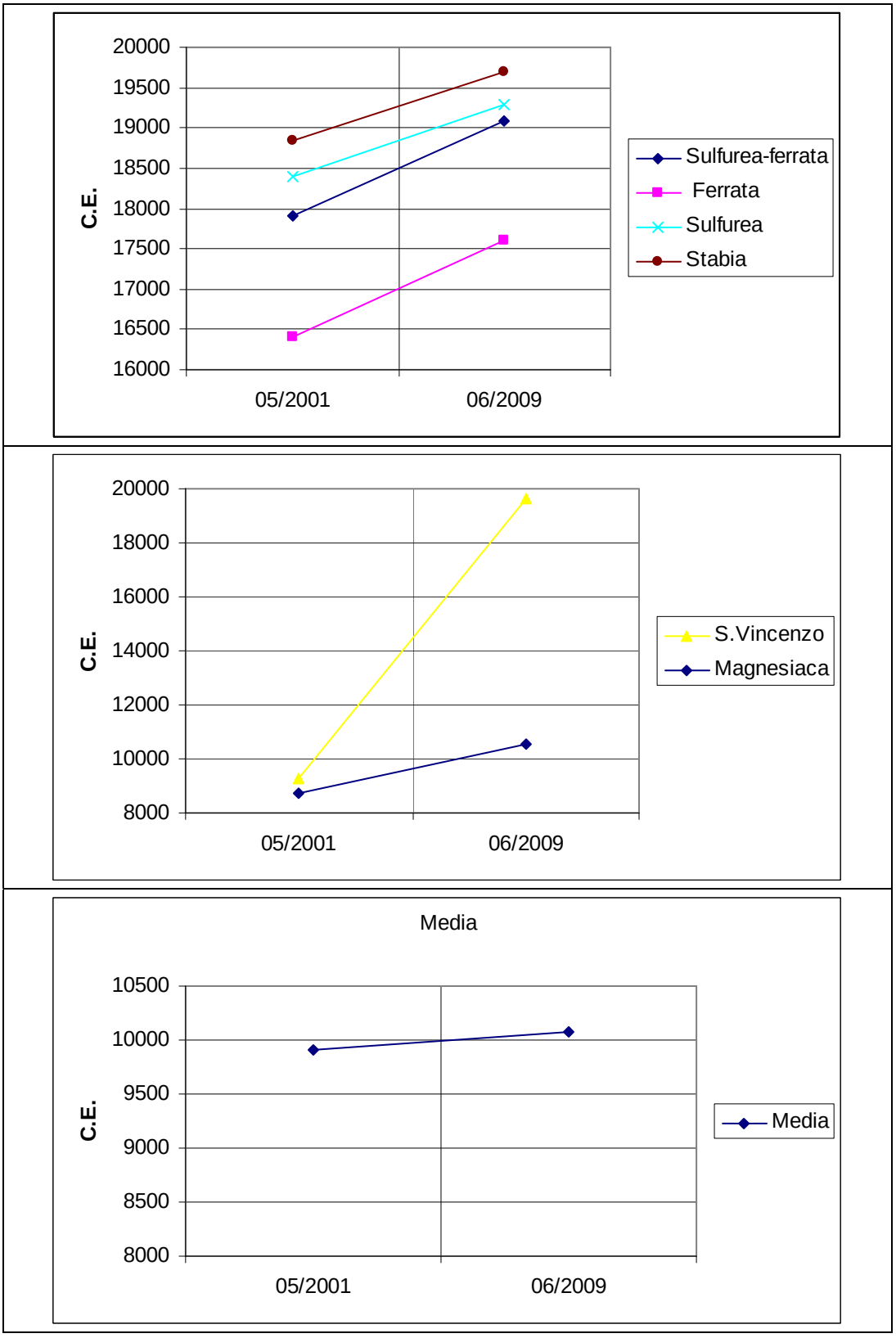


Fig. 7/b f.t.: Variazione della Conducibilità Elettrica (C.E. in µS/cm) alle Sorgenti del Gruppo Stabiano tra il maggio del 2001 ed il giugno del 2009



Foto 1 f.t.: Gruppo Stabiano. Calcari affioranti tra i due cunicoli che accolgono due pozzetti di captazione; altri 5 pozzetti sono visibili in esterno



Foto 2 f.t.: Gruppo Stabbiano - pozzetto di presa di una sorgente; si intravedono i tubi di presa e scarico



Foto 3 f.t.: Gruppo Stabiano – scarichi di troppo pieno (30 dicembre 2009)



Foto 4: Impianto di sollevamento verso le Nuove Terme



Foto 5 f.t.: Gruppo Vanacore – in primo piano un pozzetto di presa; sul fondo tubi di troppo pieno e di mandata al "banco mescite Vanacore"

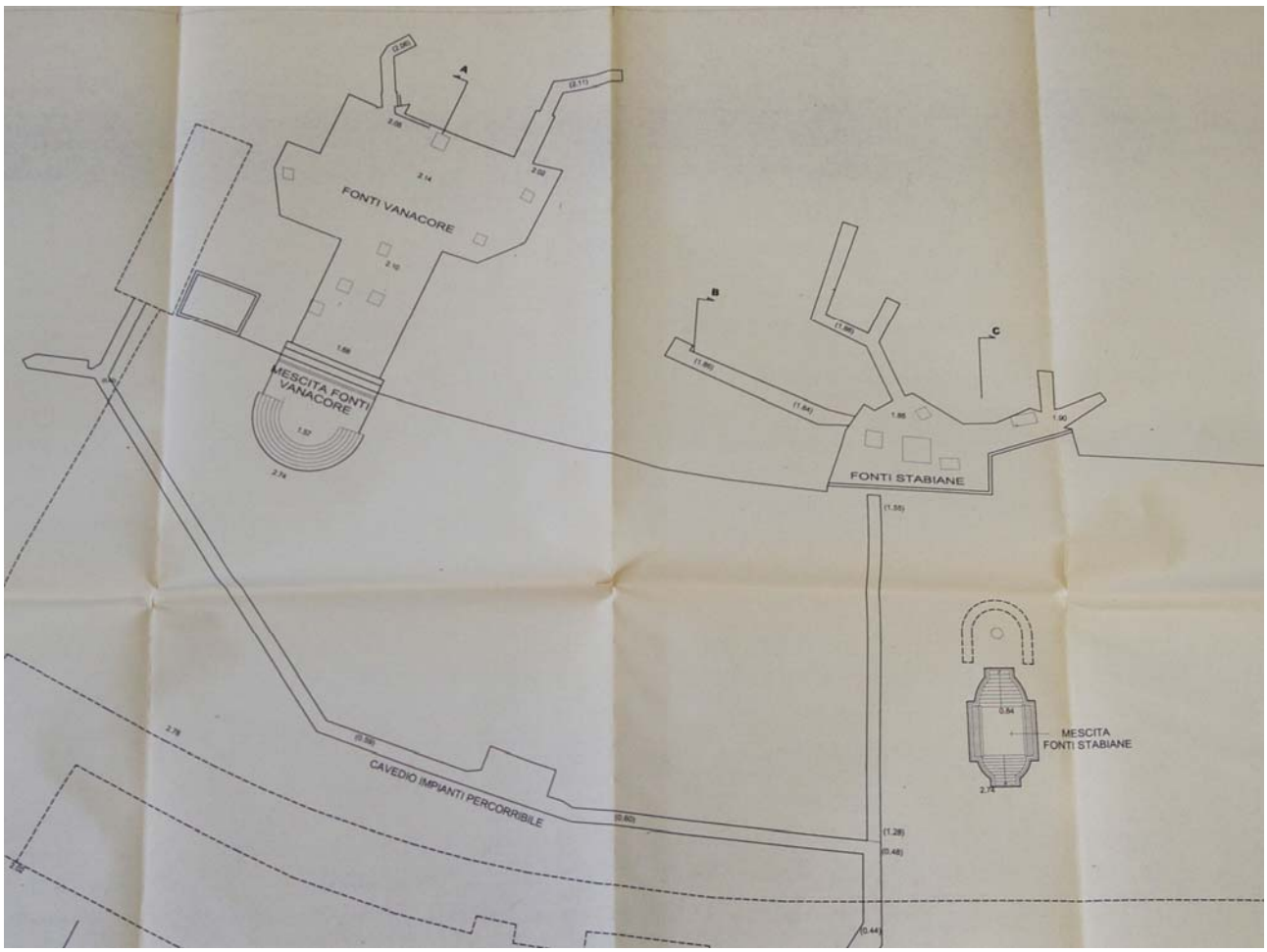
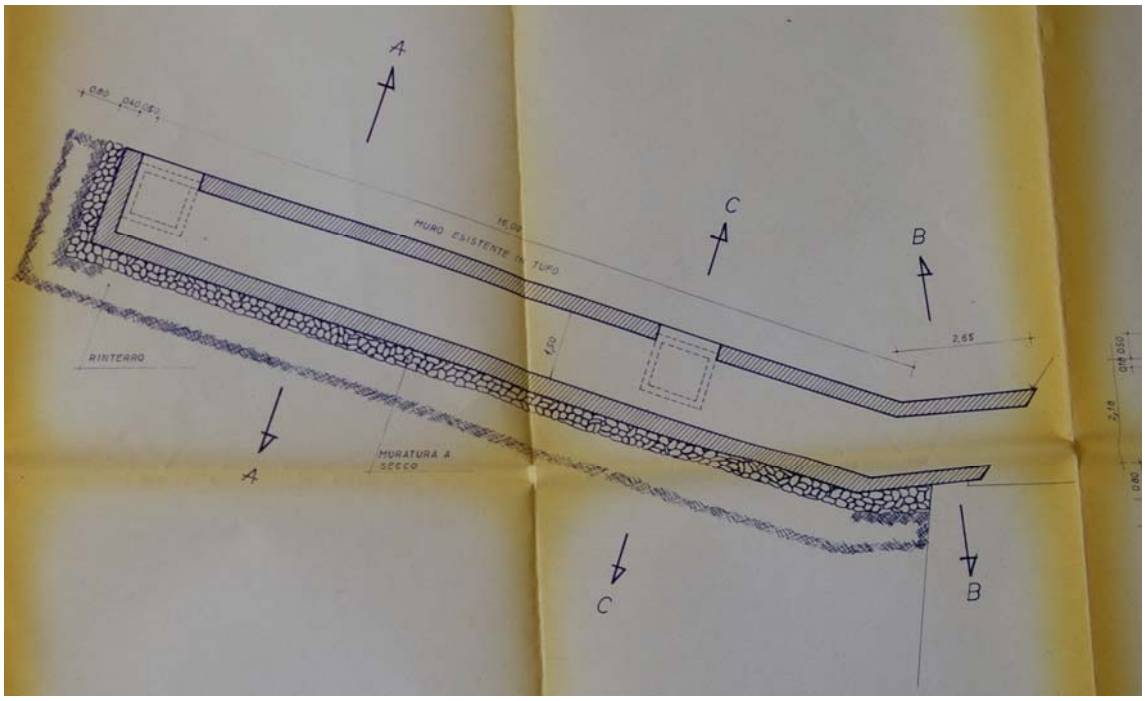


Fig. 8 f.t.: Antiche Terme: ubicazione delle sorgenti del gruppo Vanacore (in sin) e del gruppo Stabiano: in basso è il cunicolo di collegamento idraulico tra i due gruppi; in alto a sinistra è la stazione di pompaggio per l'invio delle acque alle Nuove Terme (Archivio Antiche Terme)



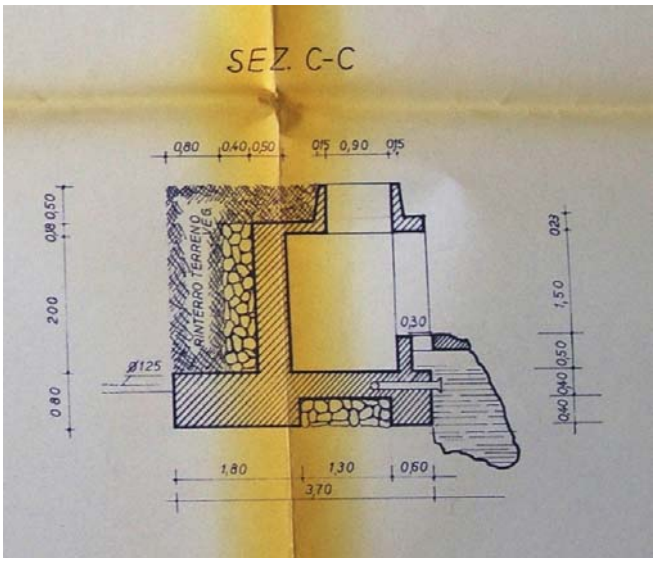


Fig. 9 f.t.: Sorgente Pozzillo (gruppo Stabiano) – particolari della captazione (Archivio Antiche Terme)

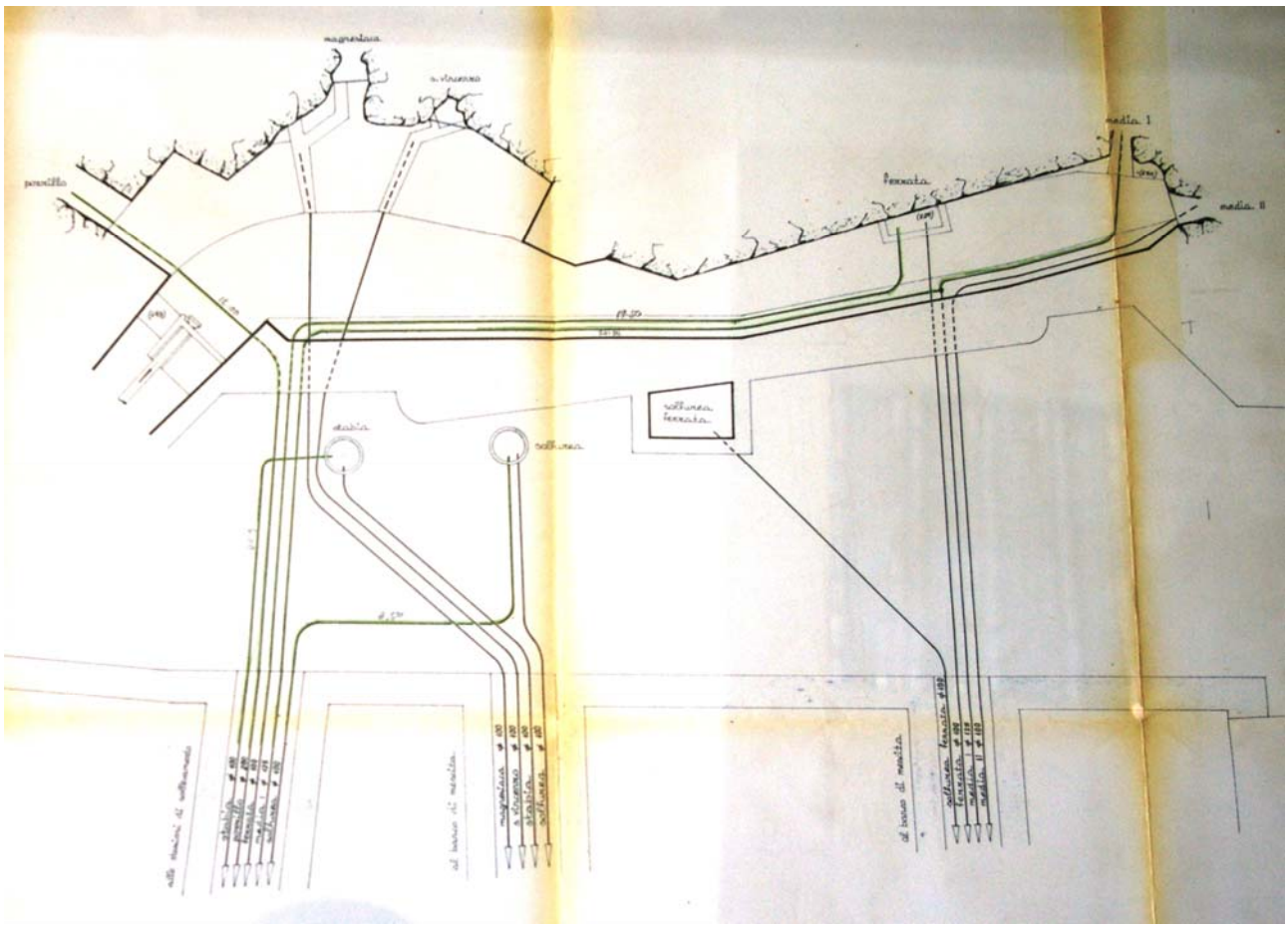


Fig. 10 f.t.: Schema di captazione del gruppo Stabiano (Archivio Antiche Terme)

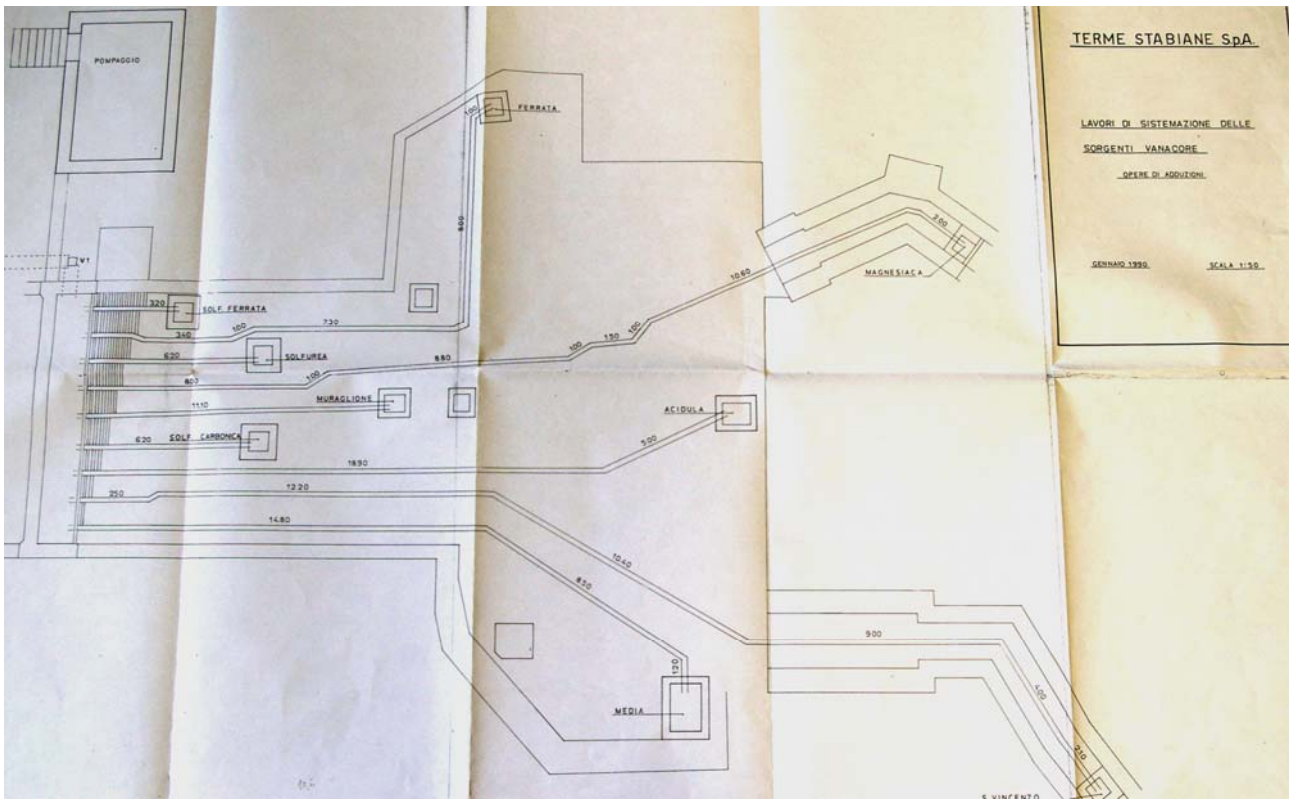


Fig. 11 f.t.: Schema di captazione delle sorgenti Vanacore (Archivio Antiche Terme)

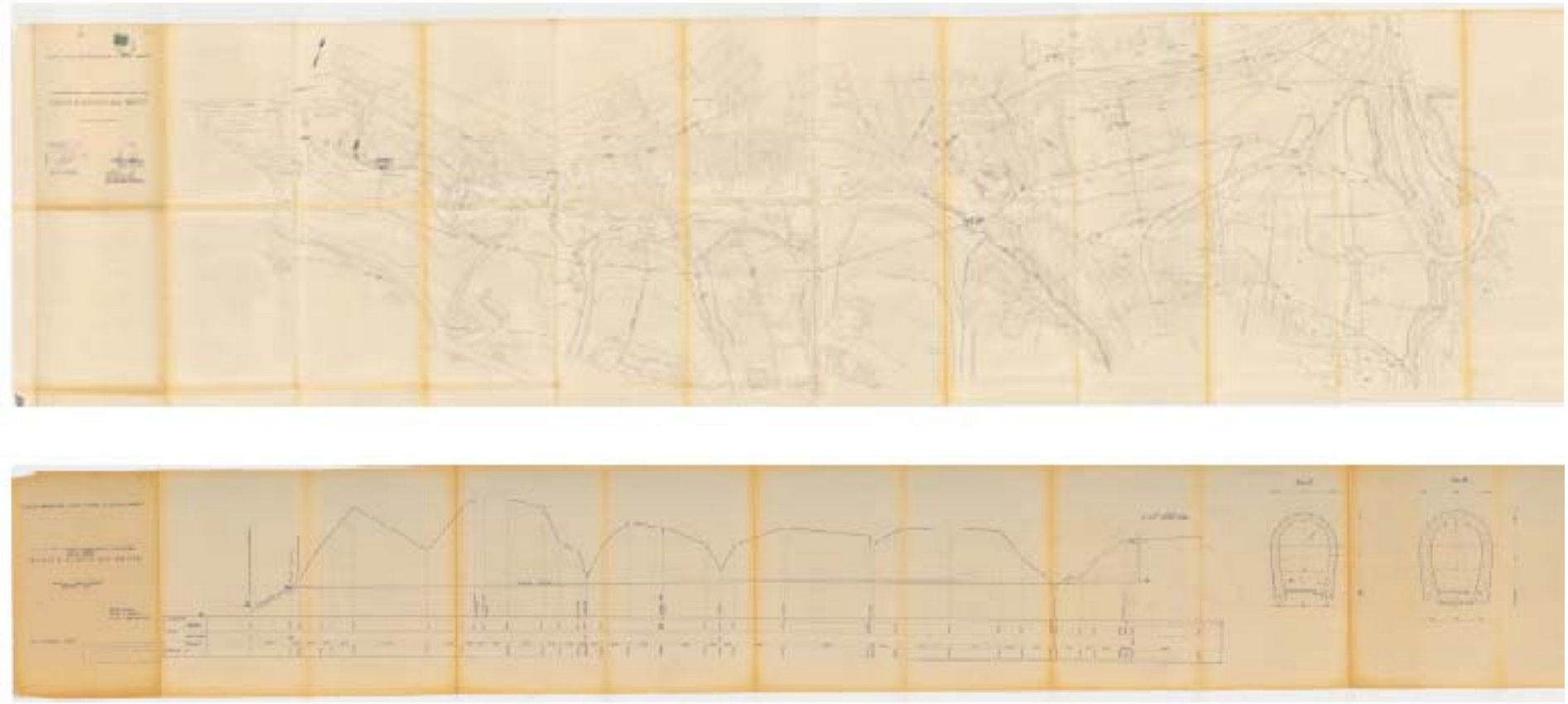


Fig. 12 f.t: Cunicolo di collegamento tra le Antiche Terme e le Nuove (planimetria e sezione longitudinale – da Archivio Antiche Terme)



Foto 6/1 f.t.: Realizzazione del cunicolo di collegamento tra le Antiche e le Nuove Terme (settembre 1961)

(Archivio Antiche Terme)



Foto 6/2 f.t.: Realizzazione del cunicolo di collegamento tra le Antiche e le Nuove Terme (settembre 1961)

(Archivio Antiche Terme)



Foto 6/3 f.t.: Realizzazione del cunicolo di collegamento tra le Antiche e le Nuove Terme (settembre 1961)

(Archivio Antiche Terme)



Foto6/4 f.t.: Realizzazione del cunicolo di collegamento tra le Antiche e le Nuove Terme (settembre 1961)

(Archivio Antiche Terme)